



## المحددات الجينية وعلاقتها ببعض متغيرات ووظائف القلب ومستوى الإنجاز لمبدئي الغوص

أ.م.د/ أمير حسن سليمان العيادي

أستاذ مساعد بكلية علوم الرياضة جامعة العريش

### المقدمة ومشكلة البحث:

تعتبر رياضة الغوص من أمنع وأجمل رياضات الماء ، فهي النافذة التي تتيح للغواص رؤية عالم ما تحت البحر وهو عالم لا نستطيع أن نعايشه ونحياه إلا من خلال الغوص حيث نتأمل ونشاهد ما أنعم به الله من جمال الطبيعة المملوءة بالإثارة والمعرفة ، ولكي يتمتع الغواص بهذا المشهد ، فرضت عليه طبيعة قاع الماء أن يتمتع بناحية صحية معينة من خلال سلامة أجهزته الحيوية التي تختلف من فرد إلى آخر ، ويعتبر القلب أحد أجهزة الجسم التي يمكن البناء عليها والحكم على سلامة الفرد وصحته .

وتمد البيولوجيا الجزيئية MolecularBiology علماء التدريب بالأداة للتعرف على كيفية تحكم التدريب في عمل الجين وكيفية تأثير هذا التدريب على إنتاج البروتين العضلي وتنظيم استساخ التعبير الجيني مما يسمح للعاملين بالتدريب بتخطيط البرامج المناسبة لتحسين مستوى الأداء البدني .

وقد تم حديثاً استخدام الوراثة في الرياضة ، وذلك لانتقاء اللاعبين ذوي الصفات الجسدية المتغيرة بجانب استخدامها في تحسين الأرقام الرياضية المذهلة وتحسين مستوى اللياقة البدنية والتدريب لذلك كان من الأهمية الأخذ بأسباب العلم الحديث للتقدم في المجال الرياضي في مصر . ( ١٦ : ٣ ، ١٧ )

وأشار كلاً من مجدي أبو عرام (٢٠٠٧م) ، صالح الطرابيلي (٢٠٠٦م) إلى أن الغوص العميق يتطلب القدرة على التوجيه الحركي داخل الماء بصورة تتناسب مع المحيط الذي يسبح فيه الغواص . ( ٤ : ٤ ) ، ( ٤ : ٢٢٨ )

كما ظهر أيضاً تطور طرق وأساليب اختيار وانتقاء الناشئين لممارسة تلك الرياضة واستخدام الطرق والوسائل الحديثة في التدريب وبناءً على ذلك بدأت القواعد المنظمة لرياضة الغواصة في التطور لتؤدي دوراً بارزاً للارتفاع إلى أفضل المستويات الرقمية واستغلال أقصى الإمكانيات لدى الغواصين لممارسة رياضة الغواصة . ( ٨ : ١ )



ويشير كلاً من حسين حشمت ونادر شلبي (٢٠٠٣م) أن الجينات تلعب دوراً هاماً في مجال التربية البدنية والرياضة ، حيث تعتبر هي المسئولة عن نصف المتغيرات في الأداء البدني ، وبالتالي فهي مسئولة عن نصف المتغيرات في الاستجابة للتدريب البدني . (٣ : ٦٧) وجين الإنزيم المحول للأنجيوتنسين ACE هو جين ذو أهمية في تحديد أقصى استهلاك للأكسجين للرياضي ، وحجم البطين الأيسر للقلب ، كما يحدد الجين نوع الليفة العضلية من بيضاء أو حمراء . (٣ : ٦٧)

ويشير بهاء سلامة (٢٠٠٠م) إلى أن الجهاز الدوري القلبي أحد أهم الأجهزة في جسم الإنسان ، والاختلافات في سمك العضلة القلبية ترتبط بصورة مباشرة مع الضغط المکاني في جدران غرف القلب الأربع ، والبطين الأيسر هو الأقوى بالنسبة لغرف القلب الأربع أثناء الانقباض ، لأن البطين الأيسر يضخ الدم إلى كل أجزاء الجسم . (١ : ٣٧)

ويذكر بهاء سلامة (٢٠٠٠م) أن خاصية الألياف العضلية بطيئة وسرعة الحركة تتعدد في مراحل الحياة الأولى من العمر ، وفي دراسة لحالات التوائم المتماثلة فإنه قد تبين أن تركيب الألياف العضلية يعتمد على الجينات الوراثية ويوجد تماثل بين تركيب الألياف العضلية للتتوأم المتماثلة بينما في غير المتماثلة فإن التركيب يختلف بعض الشيء . (١ : ١١١)

ويضيف أن الجين الذي يتم وراثته من الآباء إلى الأبناء يحدد الأعصاب الحركية التي تغذي العضلات وبعد تغذية العضلة بالأعصاب فإن كل ليف عضلي تصبح متخصصة طبقاً للعصب المغذي .

ويشير بهاء سلامة (٢٠٠٠م) إلى أن معرفة التركيب والاستخدام للألياف العضلية يمكن أن يضمن للرياضيين الذين لديهم نسبة عالية من الألياف العضلية بطيئة الحركة أن تكون لديهم قدرة تحمل عالية بينما الرياضيون ذو نسبة عالية من الألياف العضلية سريعة الحركة يمكن أن يكون لهم الأفضلية في الرياضات السريعة . (١ : ١١٢)

ويشير جراف وأخرون Graphetal (٢٠٠١م) إلى أن نوع الجين قد يؤثر على عوامل نمو القلب ، مؤدياً لزيادة حجم البطين الأيسر وتحسين الأداء . (٤١ : ١٤)  
ويضيف ماكمهون وأخرون MacMahonetal (١٩٨٦م) إلى أن حجم البطين الأيسر يرتبط بمؤشر كثافة الجسم (BMI) وزن الدهن الحر (FFM) بالإضافة إلى شدة ونوع التدريب المستخدم . (٢٠ : ٣٣٦)

وعن علاقة التدريب بحجم البطين الأيسر يشير بهاء سلامة (٢٠٠٠م) إلى أن البطين الأيسر يحدث له التغير الأكبر أثناء التدريب نظراً لانقباضه مع زيادة في حجم الدم ، وكذلك



في ضغط الدم بالدورة الدموية ، وكل ذلك يعتبر حملًا كبيراً على القلب ، وللتغلب على هذا الحمل فإن عضلة القلب تعوض ذلك عن طريق زيادة الحجم ( سواء بزيادة سمك الجدران أو زيادة السعة ذاتها ) وبذلك يستطيع الاستمرار في الانقباض بكفاءة . ( ٨٣ : ١ )

ويشير آندي ميا Andy Miah (٢٠٠٤م) إلى أن الإنزيم المحول للأنجيوتنسين AngiotensinconvertingEnzyme(ACE) هو عبارة عن إنزيم يفرز من الكلى والمسئول عن هذا الإنزيم جين وراثي يسمى جين الإنزيم المحول للأنجيوتنسين ACEGene (ACE) والذي هو محور دراستنا ويوجد أساساً في الخلايا وعمل هذا الجين المنتج لإنزيم ACE هو تحويل الأنجيوتنسن (I) الغير نشط إلى أنجيوتنسن (II) النشط الذي يعمل على قبض الأوعية الدموية مما يؤدي لرفع ضغط الدم وإنزيم ACE عبارة عن بروتين ينشط بروتينات الدم ويلعب دوراً هاماً في تنظيم عمل الدورة الدموية وله دور في نمو عضلة القلب وحجم البطين الأيسر . ( ٤٩ : ١٠ )

وعن علاقة جين (ACE) بحجم ووظيفة البطين الأيسر يشير دورسن وأخرون Dursunetal (٢٠٠٥م) إلى أن لهذا الجين ارتباط كبير بعضلة القلب حيث إنتاجه لكميات كبيرة من الإنزيم ( الصورة DD ) يزيد من سمك جدار البطين الأيسر ، وإنتاجه لكميات كبيرة من الإنزيم ( الصورة II ) يزيد من كمية الدم وبالتالي ترداد السعة الداخلية للبطين الأيسر . ( ٢٣ : ٢٥ )

وقد لاحظ الباحث وفقاً للبحث المرجعي ومن خلال الدراسات والاطلاع على الشبكة العالمية للمعلومات (Internet) وجود قضية جدلية لم تحسم حتى الآن وهي حول دور وأهمية الوراثة والتدريب وأيهما أكثر أهمية من الآخر ولكل رأي أسانيده العلمية .

ويتفق معه في الرأي هاو وآخرون Howeetal (١٩٩٨م) إلى أن التدريب والتأثيرات البيئية تأتي في الصدارة على الرغم من ثبوت الدليل العلمي لدور الوراثة في الأداء البدني . ( ١٥ : ١٥٣ )

بينما أصحاب الرأي الآخر مثل وويل هوبكنز WillHopkinz (٢٠٠١م) (٢٢) يرون أن الجينات تعتبر مسؤولة عن نصف تنويع الأداء البدني بين أفراد المجتمع ، وتأتي أهمية الجينات في توضيح التباين في الأداء بين الرياضيين وأن الخبرة الرياضية التي ذكرها أريكسون وأخرون Ericssonetal (١٩٩٣م) (٢٣) قد تكون في مهارة معينة وأنه قد أغفل عوامل عديدة تساهم بشكل مباشر في الفوز وهي الدافعية والمساندة الاجتماعية وغيرها ، وإننا إذا قمنا بتدريب مجموعة من الأفراد تم انتقاءهم بعناية في ضوء قدراتهم البدنية والنفسية والفيسيولوجية



، سوف نلاحظ الفروق الفردية ، التي تعزى إلى الوراثة والتعضيد العلمي لذلك هو دراسة التحليل الحركي للتوأم المتماثلة حيث أن الفروق لا تكاد تذكر بين التوأم وهذا يدعم الدور الجيني في التأثير على الأداء بصورة مباشرة .

ويرى الباحث أن الوراثة والتدريب وجهان لعملة واحدة هي تحقيق الإنجاز الرياضي وخير مثال على ذلك أن العداء يولد ولا يصنع وأن الفروق التي تظهر في العضلات وخاصة عضلة القلب وحجم البطين الأيسر ما هي إلا نتاج وراثي مكتسب . لكن ما الذي سيحدث لو لم يتم استخدام الأساليب العلمية في التدريب؟ بالطبع لن يصل اللاعب إلى القمة . وهذا ما دفع الباحث للتطرق إلى دراسة المحددات الجينية وعلاقتها ببعض متغيرات ووظائف القلب ومستوي الإنجاز لمبتدئي الغوص .

#### هدف البحث :

يهدف البحث للتعرف على المحددات الجينية وعلاقتها ببعض متغيرات ووظائف القلب ومستوي الإنجاز لمبتدئي الغوص .

#### فرضيات البحث :

١- يوجد ارتباط بين بعض المحددات الجينية ( النمط الجيني لجين ACE ) وبعض متغيرات القلب ووظائف البطين الأيسر والإنجاز في رياضة الغوص .

٢- يوجد ارتباط بين بعض متغيرات القلب ووظائف البطين الأيسر والإنجاز في رياضة الغوص

٣- تساهم بعض متغيرات القلب ووظائف البطين الأيسر في الإنجاز في رياضة الغوص .

#### المصطلحات المستخدمة في البحث:

##### - البيولوجيا الجزيئية :

دراسة للتركيب الجزيئي في مستوى الخلية ، أي يختص بتحليل تركيب وعمل الـ الدنا (DNA) والرنا (RNA) والتعرف على جينات وخصائص الخلية . ( ٢ : ١٧٤ )

##### - الجين :

هو تتابع الـ DNA الذي ينتج بروتين أو RNA . ( ٢ : ١٧٠ )

##### - حمض ديزوكسي ريبونيكليك deoxyribonucleic acid ( الدنا ) :

هو مركب كيميائي على هيئة شريط نطق عليه اسم الشريط الوراثي ويحتوي على كل المعلومات الوراثية والخطة التي يرثها الكائن الحي من آبائه وأسلافه . ( ٣ : ٤٦ )

##### - حمض ريبونيكليك ribonucleic acid ( الرنا ) :

هو مركب كيميائي يحتوي على ريبونيكليك متصل بجزيء فوسفات . ( ٢ : ١٧٢ )



### - أليل : Allele

وحدة من زوج أو سلسلة من الجينات البديلة التي توجد في موقع جيني ما على الكروموسوم . ( ٢٠ : ٦ )

: Genotype نمط وراثي

البيئة الوراثية الفعلية لفرد ما ، وتحدد بواسطة الجينات التي يحملها ذلك الفرد . ( ١٩٩ : ٦ )

: Polymorphism متعدد المظاهر ( متغير الشكل )

ظهور شكلين أو أكثر من الأشكال المتعددة معاً في نفس الجين بنسبة معينة . ( ٣٣٣ : ٦ )

: Restriction enzyme إنزيمات القيد ( القصر )

وهي الإنزيمات التي تقوم بقطع الـ DNA عند موقع تتابعات محددة . ( ٣٦٤ : ٦ )

### - جين ACE :

هو جين مرمز للبروتين يشمل الأمراض المرتبطة به مضاعفات الأوعية الدموية الدقيقة لمرض السكري من النوع الثالث ، والنزيف داخل المخ . من بين مساراته ذات الصلة مسار مثبطات الإنزيم المحول للأنجيوتنسين ، والдинاميكية الدوائية ، واستقلاب هرمون الببتيد .

( ١٧٢ : ٢ )

### - البطين الأيسر :

هو إحدى حجرات القلب الأربع ، يقع في الجزء السفلي الأيسر من القلب ، وهو الحجرة التي تضخ الدم المؤكسج إلى الجسم . ( ٤٨ : ٣ )

إجراءات البحث :

منهج البحث :

اتبع الباحث المنهج الوصفي وذلك لملائمة طبيعة هذا البحث .

عينة البحث :

تم اختيار عينة البحث بالطريقة العمدية الطبقية من ناشئي الغوص من مركز غوص SharkRedSea بمدينة الغردقة للموسم التدريسي ٢٠٢٥/٢٠٢٤ في المرحلة العمرية من ( ١٢ - ١٤ سنة ) وكان عددهم ( ١٥ ) ناشئ ، وتم استبعاد ( ٥ ) ناشئين لعدم انتظامهم ، وبذلك أصبحت عينة الدراسة ( ١٠ ) ناشئين قبلوا التطوع للمشاركة في تجربة البحث وأخذ عينات الدم .



وقد قام الباحث بإيجاد التجانس لأفراد عينة البحث في المتغيرات الأنثروبومترية ، والجدول التالي يوضح ذلك .

**جدول (١)**

**تجانس عينة البحث في المتغيرات الأنثروبومترية**

(١٠ = ن)

معامل الالتواء	الوسيله	الانحراف المعياري	المتوسط الحسابي	وحدة القياس	المعاملات الإحصائية للمتغيرات
١.٨٧٥	١٣٠٠	$٠٠٤٨ \pm$	١٣.٣٠	سنة	السن (سنة)
٠.٥٧٦-	١٦٦.٥٠	$١٠٠٤٠ \pm$	١٦٤.٥٠	سم	الطول (سم)
٠.٨١١-	٦٠٠٠	$١١.٤٦ \pm$	٥٦.٩٠	كجم	الوزن (كجم)

يتضح من جدول (١) أن جميع معاملات الالتواء للمتغيرات قد انحصرت ما بين ( $٣ \pm$ ) مما يدل على أن المتغيرات تحت المنحني الاعتدالي وهذا يشير إلى تجانس العينة .

**وسائل جمع البيانات:**

تم تصنيف وسائل جمع البيانات بالبحث تبعاً للمتغيرات المراد تحديدها :

**- الأدوات والأجهزة المستخدمة في البحث:**

**جدول (٢)**

**الأدوات والأجهزة المستخدمة في البحث**

نوع المقياس	وحدة القياس	اسم الوسيلة
لقياس وظائف وأبعاد القلب (البطين الأيسر)	الستينيتر ، المليمتر	جهاز فحص القلب بالموجات فوق الصوتية Echocardiography
تحليل الحامض النووي DNA	—	جهاز Thermal cycler Marke Perkin Elmer
لفصل البلازما واستخلاص كرات الدم البيضاء	لغة / دقيقة	جهاز طرد مركزي Centrifuge
سحب عينات الدم	الستينيتر المكعب	سرنجات بلاستيك ٥٠ مل للاستعمال مرة واحدة
لحفظ ونقل الدم	—	كولمان
لتجميع عينات الدم	الستينيتر	أنابيب اختبار
لأداء سباحة ١٠٠ م	متر	حوض سباحة
الطول الكلي للجسم	الستينيتر	جهاز قياس ارتفاع القامة
الوزن	الكيلو جرام	ميزان طبي معاير



قياسات البحث :

**جدول (٣)**

**القياسات التي تتم مباشرة من خلال الجهاز**

وحدة القياس	اسم القياس باللغة الإنجليزية	اسم القياس باللغة العربية
(cm) سم	End-systolic diameter of left ventricle	قطر نهاية الانقباض للبطين الأيسر (LVESD)
(cm) سم	End-diastolic diameter of Left ventricle	قطر نهاية الانبساط للبطين الأيسر (LVEDD)
%	Ejection fraction	الجزء المقدوف من الدم من البطين الأيسر (EF)
%	Fractional shortening	القصير الجزئي (FS)
(cm) سم	Posterior wall thickness of Left ventricle	سمك الجدار الخارجي للبطين الأيسر (PWT)
(cm) سم	Septal wall thickness of Left ventricle	سمك الجدار الداخلي للبطين الأيسر (SWT)

**جدول (٤)**

**القياسات التي يتم حسابها بمعنومية القياسات المباشرة**

وحدة القياس	اسم القياس باللغة الإنجليزية	اسم القياس باللغة العربية
(g) جرام	Left ventricular mass	كتلة البطين الأيسر (LVM)
(mL/لتر) مللي/لتر	Stroke volume	حجم الضربة (SV)

( ١٨ : ٣٥ )

حيث :

الجدار الداخلي للبطين الأيمن. : AWRV

الأذين الأيسر. : LA

تجويف البطين الأيسر. : LV cavity

تجويف البطين الأيمن : RV Cavity

طرق قياس متغيرات البحث

\* القياسات الفسيولوجية :



- قياسات وظائف القلب والبطين الأيسر وهي القياسات التي تمت بواسطة جهاز فحص القلب بالموجات فوق الصوتية (Echocardiography) كما سبق ذكرها .

\* **القياسات البيولوجية الجزيئية Molecular Biology Measurements**

- تحليل الحامض النووي DNA بواسطة جهاز ThermalCycler من خلال تقنية سلسلة تفاعل البلمرة Polymeras chain reaction .

**اجراءات البحث :**

**المرحلة الأولى ( مرحلة الإعداد ) :**

وتم فيها تحديد الإطار العام للبحث و مجالاته وأهدافه وتحديد المتغيرات الأساسية المراد قياسها وتحديد خطوات البحث والأدوات والأجهزة الملائمة واللازمة لقياس المتغيرات قيد الدراسة وذلك بالرجوع إلى المراجع والدراسات السابقة .

**المرحلة الثانية ( المرحلة الأساسية ) :**

تم تنفيذ تجربة البحث على خطوتين في الفترة من ٢٠٢٥/١/٥ حتى ٢٠٢٥/٢/٤ م وهي كالتالي :

**- القياسات الفسيولوجية الخاصة بالقلب :**

تم إجراء القياس لعدد (١٥) غواص بمراكز الأشعة بشرم الشيخ حيث يجلس كل غواص على المكان المخصص له لقياس وظائف القلب بمعرفة طبيب متخصص من قبل المركز وقد استغرق قياس كل حالة من ( ٢٠ - ٢٥ ) وظهور النتائج مباشرة على شاشة الجهاز ويتم إخراجهما بواسطة الطابعة ، وقد تم القياس في الفترة من ٢٠٢٥/١/١٥ وحتى ٢٠٢٥/٢/٤ م .

**- القياسات الخاصة بتحليل الحامض النووي DNA :**

تم سحب عينات الدم لعدد (١٠) غواصين الذين تطوعوا لأخذ عينات الدم بعد استبعاد (٥) غواصين لعدم رغبة أولياء الأمور ، لكي تصبح عينة البحث (١٠) غواصين ، حيث تم سحب العينات بمعرفة الطبيب المختص بالعمل المتخصص ، وقد تم على النحو التالي:

- تم سحب ٥ سم<sup>٣</sup> من كل غواص من عينة البحث باستخدام السرنجات البلاستيكية للاستعمال مرة واحدة فقط .

- تم تفريغ العينات في أنابيب إديتا EDTA والتي تحمل أرقام الغواصين عينة البحث المسجلة باستمارة البيانات .



- تم فصل مكونات الدم بواسطة جهاز الطرد المركزي Centrifuge لفصل واستخلاص

كرات الدم البيضاء ووضعها في أنابيب وحفظت في كولمان به ثلج لحين نقلها إلى

المعمل المتخصص لاستخلاص وتحليل الحامض النووي DNA وفق الخطوات التالية

#### - تحضير (تجهيز) الدنا : DNA Preparation

قام الباحث بعمل تجهيز للدنا DNA لتحليله وإكتاره بواسطة تقنية سلسلة تفاعل البلمرة

: PCR Polymerasechainreaction تحت الطبيب المختص حيث تم الآتي :

- تجميع الأنابيب التي يوجد بها كرات الدم البيضاء ويتم عمل طرد مركزي لها بسرعة منخفضة تقريرياً ( ٥٠٠ لفة/ دقيقة ) لمدة ٥٥ دق .

- الأقراص الصغيرة للدنا DNA المترسبة من عملية الطرد المركزي Centrifugation يتم ذوبانها في ٥٠٠ ميكرو لتر من محلول أونست UNSET ( وهو عبارة عن محلول

مخفف يحتوي على ٨ مول يوريا Urea ، ٢ % من سلفات ديوبيسيل الصوديوم

Sodiumdodecylesulfat ، ١٥ مول كلوريد الصوديوم Nacl ، ٠٠٠١ مول

إيدتا EDTA و ٠٠٠١ مول تريس Tris بحيث يكون رقمه الهيدروجيني PH ٧.٥ .

هوجو وأخرون Hugoetal (١٩٩٢م) ، عواد Awad (٢٠٠٣م) (١٦) .

- يستخدم مستخلص فينول الكلوروفورم Phenol-Chlorform من ٢ : ٣ مرات لفصل الطبقات العضوية المائية .

- يضاف الكحول الإيثيلي البارد Iceabsoluteethanol بنسبة ٢ : ١ حجم/حجم (٢:١٧V/V) وذلك لترسيب الأحماض النووية nucleicacid ، ثم يترك ليحضرن في ٢٠ درجة مئوية تحت الصفر لمدة من ٢ : ٢٤ ساعة .

- يعاد الحصول على الحامض النووي بواسطة الطرد المركزي عند ٥٠٠٠ لفة/ دقيقة تقريرياً لمدة ١٥ دق .

- يجف القرص الصغير للدنا DNA ثم يعاد زوبانه في ٤٠ ميكرو لتر من الماء المعقم SterileH<sub>2</sub>O ، ثم يؤخذ ١ ميكرو لتر من هذا المعلق لفحصه بواسطة جهاز الفصل الكهربائي gelectrophoresis ومن ثم يتم الحصول على الدنا DNA

#### - إكثار وتتقية الجين : Gene amplification and purification

- لإكثار (تضاعف) الجين الكامل يؤخذ ١ ميكرولتر من الدنا DNA ك قالب لاستخدامه

بالإضافة إلى مجموعة القواعد النيتروجينية Oligonucleotide كبادى Primer مكملاً

للشريط الآخر في الاتجاه ٥ — ٣ للجين في اتجاه معاكس لاتجاه نسخ الدنا DNA



Upstream primer وبعيد عن موقع البداية Downstream primer . هذا الخليط القياسي لتقنية سلسلة تفاعل البلمرة . (PCR) قد استخدم من قبل ( كسينج وأخرون ١٩٨٩ ) Kessing et al

- البرنامج القياسي لسلسلة تفاعل البلمرة لاكثر الجين كان كالتالي : ٣٥ دورة حيث يتم عرض الخليط لمدة ٤١ عند درجة حرارة ٩٤ درجة مئوية ، من ٢ - ٣٣ عند درجة حرارة ٤٥ درجة ، و ٣٣ عند درجة حرارة ٧٢ درجة .

- تستخدم مجموعة القواعد الفوسفاتية ديوكسي نيوكلويونيد ترالي فوسفات (dNTP,dATP, dGTP,dTDPDeoxynucleotide TriphosphatesanddCTP) وهي من شركة بركن إيلمير PerkinElmer في الولايات المتحدة الأمريكية ، إنزيم البلمرة الحراري Taq DNA Polymerase والتي تم الحصول عليها من شركة Boehringer Mannheim Biochemica بألمانيا .

- نواتج سلسلة تفاعل البلمرة (PCR) عزلت بعد الفصل بواسطة جهاز الفصل الكهربائي لجيل الإجاروز agarosegelelectrophorsis المكون من ( ٠.٨ جرام أجاروز ، وبدرجة فصل نقية BRL بتركيز ١٠٠ml ١xTAE ( قواعد تريس ، حامض الخليك التنجي وآيديتا ) Trisbase,golacialaceticacidandEDTA ) وتستخدم قالب عبارة عن ٣ ملي متر × ٦ ملي متر ومكون من ١٢ حضانة (فتحة) .

- يضاف بروميد الأثيديوم Ethidiumbromide لصبغ منتجات (PCR) في الجيل بتركيز ٥٠ ميكروجرام لكل ١٠٠ ملي لتر TAE لمدة ٤١ .

- نواتج PCR يتم تصويرها بالأشعة فوق البنفسجية وبعد ذلك يتم قطعها من الجيل .

- يستخدم منقي الدنا من على الجيل لتنقية الجين من جيل الأجاروز والذي تم الحصول عليه من شركة (Geneclean kit; Bio 101 INC. LaJolla, C.A, USA)

#### جدول (٥)

#### بادئ سلسلة تفاعل البلمرة المستخدم لإثثار جين ACE

Upstream primer	الشريط العلوي 3 <sup>1</sup> -5 <sup>1</sup> CTGCAGAGG CCTGG AAAACCATGGAA
Down stream primer	الشريط السفلي 5 <sup>1</sup> -3 <sup>1</sup> CTGCAGAGGAATGTTCTTGCTGC

تقنية تعدد أطوال قطع القصر Restriction Fragment Length Polymorphism : (RFLP) Protocol



تعتبر هذه المرحلة هي المرحلة الأخيرة من مراحل عملية تفاعل البلمرة المتسلسل PCR حيث يتم فيها استخلاص جين ACE المكتسب من المراحل السابقة ، وتستخدم المحتويات كما في جدول (٦) ، حيث يتم استخدام الأشكال العديدة المختلفة لإنزيمات القصر ( القطع ) جدول (١٠) تبعاً للخطوات التالية:

- يضبط الحمام المائي في درجة حرارة ٣٧ درجة مئوية.
- خليط القصر Combiner restriction يحتوي على ١ ميكرو لتر محلول منظم buffer ، ٣.٨ ميكرو لتر ماء ، ٠.١ ميكرو لتر من مصل الألبومين BSA و ٠.١ ميكرو لتر من إنزيم القطع وقد تم استخدام (١٠) إنزيمات قطع ( إنزيم لكل أنبوبة ) .
- سعة الأنابيب ٥٠٠ مللي لتر .
- يضاف ٥ ميكرو لتر من الخليط السابق بكل أنبوبة .
- ١ ميكرو لتر من كل منتج من منتجات PCR تنقل إلى أنابيب معلمة .
- يتم عمل طرد مركزي للأنبيب لفترة قصيرة جداً ( جزء من الثانية ) لإزالة العوالق على جدار الأنابيب من الداخل ثم توضع في حمام ماء ملائم لمدة ساعة ونصف .
- تبرد الأنابيب في الثلاج بعد عملية الهضم أو الاستخلاص .

عملية الهضم digestion تؤدي لمدة ثلاثة ساعات ونصف تقريباً عند ٣٧ درجة مئوية ، وبعدها تفحص منتجات الهضم في ٢ % ت بي آية - إجاروز agarose-TBE ، ثم تصبغ بواسطة بروميد الأثيريوم Ethidium bromide. حزم الدنا DNA (bands) يمكن أن ترى عبر الإضاءة فوق البنفسجية وتصور من خلال صورة جهاز التحليل image analyzer apparatus.

### جدول (٦)

#### المحتويات التي تستخدم في استخلاص جين ACE

المادة	الحجم لكل عينة
Restriction buffer	١ ميكرو لتر
Ultra pure water	٣.٨ ميكرو لتر
BSA	٠.١ ميكرو لتر
الإنزيم المستخدم ( وحدتين / ميكرو لتر ) ( 2u / μL )	٠.١ ميكرو لتر
PCR product	٥ ميكرو لتر
Total reaction volume	١٠ ميكرو لتر



جدول (٧)

أنواع إنزيمات القصر التي استخدمت في الدراسة لقطع جين ACE ومصدرها وطريقة القطع لكل منها

الإنزيم	المصدر (اسم البكتيريا المستخلص منها)	طريقة واتجاه القطع
Ava I	<i>Anabena variabilis</i>	5'... C °YC GRG ....3/ 3'... GRGCY.C.....5'
Sty I	<i>Salmonella Typhi</i>	5'....C°CWWGG...3/ 3'....GGWWC.C....5'
Nsp I	<i>Nostoc species</i>	5'.....RCATG°Y....3/ 3'....Y.GTACR...5'
Bsa I	<i>Bacillus stearothermophilus</i>	5'....GGTCTC(N <sub>1</sub> ) °..... 3/ 3'....CCAGAG(N) <sub>5</sub> .....5'
Dra III	<i>Deinococcus radiophilus</i>	5'....CACNNN°GTG....3/ 3'....GTG. NNN CAC....5'
Dsa I	<i>Dactylococcopsis Satina</i>	5'....G°TT CG...3/ 3'....C.AAGC.....5'
Eag I	<i>Enterobacter agglomerans</i>	5'....C°GGCCG....3/ 3'....GCCGG.C....5'
Ear I	<i>Enterobacter aerogenes</i>	5'....CTCTTC (N) <sub>1</sub> °....3/ 3'....GAGAA G(N) <sub>4</sub> ....5'
Mae I	<i>Moraxella aequoataus</i>	5'....C°TAG.....3/ 3'...GAT.C....5'
Sca I	<i>Sterptomyces caespitosus</i>	5'....AGT°ACT....3/ 3'....TCA.T GA....5'

بعد الانتهاء من القياسات السابقة تم تجميع النتائج لمعالجتها إحصائياً .

المعالجات الإحصائية :

بعد جمع البيانات وتسجيلها اختيرت المعالجات الإحصائية المناسبة لتحقيق الأهداف والتأكد من صحة الفروض ، باستخدام البرنامج الإحصائي (spss) بواسطة الحاسوب الآلي ، وكانت المعالجات كالتالي :

- Median -الوسط
- الانحرافات المعيارية.
- التحليل المنطقي - مصفوفة الارتباط
- المتوسطات الحسابية
- معامل الالتواء.
- للانحدار



## عرض ومناقشة النتائج:

أولاً: عرض نتائج انحدار متغيرات القلب على مستوى الأداء للغواصين عينة البحث:

- البيولوجيا الجزيئية:

جدول (٨)

### معامل انحدار متغيرات القلب قيد الدراسة على مستوى الأداء للغواصين

نسبة المساهمة	المتغيرات المساهمة ومعاملاتها الانحدارية				قيمة (ف)	الخطأ العياري	المقدار الثابت	الخطوات
	PWT	LVM	SWT	ESD				
٨٥.٣٨				١٢.٥٥٧-	٤٦.٥٠٩	٤.٨٢٠	٠.٠٠	١
٨٩.٤			١٢٥.٤٧	٢٣.٦٤٨-	٢.٥٧٤	١٦.٦٩٣	٠.٥٥٠	٢
٩١.٢١		٠.٢٢٦-	٩٧.٨٩	٥.٦١٧	٠.١٧٨	٠.٠٢٢	٠.١٨٠	٣
٩٢.٥٥	٧٦.١٨٧	٠.٢١٦-	١٥.٦٢	٩.١٥٩	٠.٧٧٥	١٤.٧٢٥	٠.١٢٠	٤

يوضح جدول (٨) انحدار بعض المتغيرات الخاصة بوظائف القلب والبطين الأيسر على مستوى الأداء ، حيث يتضح من الجدول أن هناك (٤) متغيرات قد أثرت على مستوى الأداء من مجموع المتغيرات المساهمة ، حيث كانت أكبر نسبة مساهمة لصالح متغير قطر انقباض البطين الأيسر (ESD) وبلغت ٨٥.٣٨٪ ، و جاءت بعد ذلك متغيرات سمك الجدار الداخلي للبطين الأيسر (SWT) ، كتلة البطين الأيسر (LVM) وسمك الجدار الخارجي للبطين الأيسر (PWT) بنسبة (٨٩.٤٪ ، ٩١.٢١٪ ، ٩٢.٥٥٪ ) على التوالي باعتبار أن النسبة الأخيرة لمجموع الأربع متغيرات معاً كما سوف يتم مناقشته في جزء مناقشة النتائج .

ثانياً : عرض نتائج تحليل جين ACE بواسطة إنزيمات القصر المختلفة قيد الدراسة :

(١) عرض نتائج تحليل جين ACE بواسطة إنزيم القصر Aval :



شكل (١)

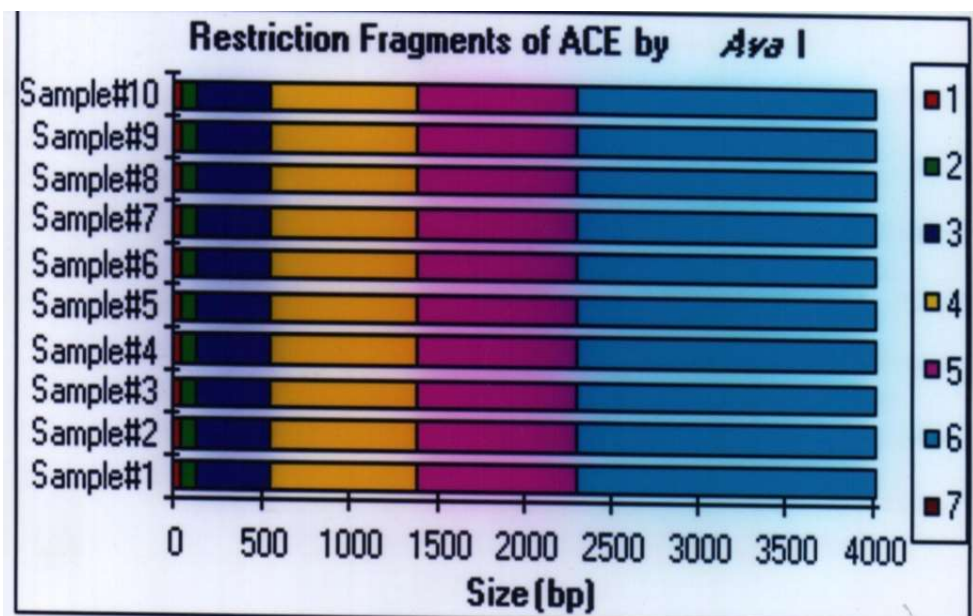
علامات الدنا DNA لأطوال قطع جين ACE باستخدام إنزيم Aval



جدول (٩)

يبين أطوال قطع جين ACE التي قطعت بواسطة إنزيم **Aval**

الغواصين	قطع الدنا	٦	٥	٤	٣	٢	١
المبتدئ الأول	٥٠ ~	٧٠ ~	٤٢٠ ~	٨٥٠ ~	٩٢٠ ~	١٧١٠ ~	٩٢٠ ~
المبتدئ الثاني	٥٠ ~	٧٠ ~	٤٢٠ ~	٨٥٠ ~	٩٢٠ ~	١٧١٠ ~	٩٢٠ ~
المبتدئ الثالث	٥٠ ~	٧٠ ~	٤٢٠ ~	٨٥٠ ~	٩٢٠ ~	١٧١٠ ~	٩٢٠ ~
المبتدئ الرابع	٥٠ ~	٧٠ ~	٤٢٠ ~	٨٥٠ ~	٩٢٠ ~	١٧١٠ ~	٩٢٠ ~
المبتدئ الخامس	٥٠ ~	٧٠ ~	٤٢٠ ~	٨٥٠ ~	٩٢٠ ~	١٧١٠ ~	٩٢٠ ~
المبتدئ السادس	٥٠ ~	٧٠ ~	٤٢٠ ~	٨٥٠ ~	٩٢٠ ~	١٧١٠ ~	٩٢٠ ~
المبتدئ السابع	٥٠ ~	٧٠ ~	٤٢٠ ~	٨٥٠ ~	٩٢٠ ~	١٧١٠ ~	٩٢٠ ~
المبتدئ الثامن	٥٠ ~	٧٠ ~	٤٢٠ ~	٨٥٠ ~	٩٢٠ ~	١٧١٠ ~	٩٢٠ ~
المبتدئ التاسع	٥٠ ~	٧٠ ~	٤٢٠ ~	٨٥٠ ~	٩٢٠ ~	١٧١٠ ~	٩٢٠ ~
المبتدئ العاشر	٥٠ ~	٧٠ ~	٤٢٠ ~	٨٥٠ ~	٩٢٠ ~	١٧١٠ ~	٩٢٠ ~



شكل (٢)

مقاسات قطع جين ACE بعد قطعها بواسطة إنزيم القصر I



(٢) عرض نتائج تحليل جين ACE بواسطة إنزيم StyI

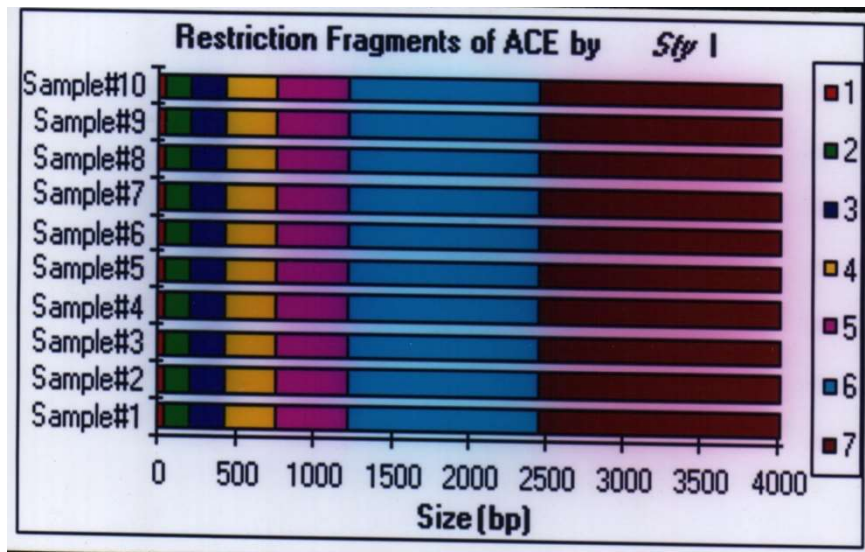


شكل (٣)

علامات الدنا DNA لأطوال قطع جين ACE باستخدام إنزيم القصر StyI

جدول (١٠)  
يبين أطوال قطع جين ACE التي قطعت بواسطة إنزيم StyI

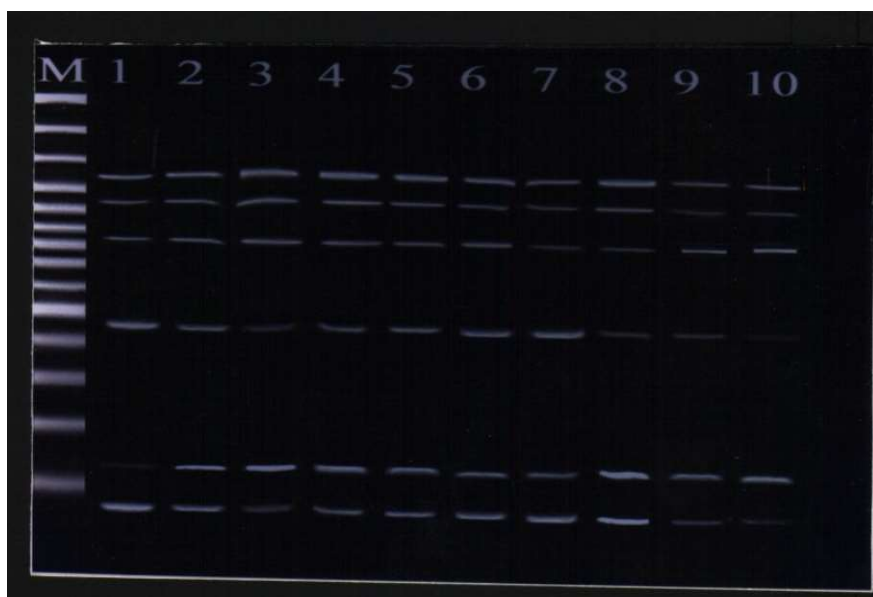
الغواصين	قطع الدنا	٧	٦	٥	٤	٣	٢	١
المبتدئ الأول	١٥٦٠ ~	١٢٣٠ ~	٤٧٠ ~	٣٣٠ ~	٢٣٠ ~	١٥٠ ~	٥٠ ~	
المبتدئ الثاني	١٥٦٠ ~	١٢٣٠ ~	٤٧٠ ~	٣٣٠ ~	٢٣٠ ~	١٥٠ ~	٥٠ ~	
المبتدئ الثالث	١٥٦٠ ~	١٢٣٠ ~	٤٧٠ ~	٣٣٠ ~	٢٣٠ ~	١٥٠ ~	٥٠ ~	
المبتدئ الرابع	١٥٦٠ ~	١٢٣٠ ~	٤٧٠ ~	٣٣٠ ~	٢٣٠ ~	١٥٠ ~	٥٠ ~	
المبتدئ الخامس	١٥٦٠ ~	١٢٣٠ ~	٤٧٠ ~	٣٣٠ ~	٢٣٠ ~	١٥٠ ~	٥٠ ~	
المبتدئ السادس	١٥٦٠ ~	١٢٣٠ ~	٤٧٠ ~	٣٣٠ ~	٢٣٠ ~	١٥٠ ~	٥٠ ~	
المبتدئ السابع	١٥٦٠ ~	١٢٣٠ ~	٤٧٠ ~	٣٣٠ ~	٢٣٠ ~	١٥٠ ~	٥٠ ~	
المبتدئ الثامن	١٥٦٠ ~	١٢٣٠ ~	٤٧٠ ~	٣٣٠ ~	٢٣٠ ~	١٥٠ ~	٥٠ ~	
المبتدئ التاسع	١٥٦٠ ~	١٢٣٠ ~	٤٧٠ ~	٣٣٠ ~	٢٣٠ ~	١٥٠ ~	٥٠ ~	
المبتدئ العاشر	١٥٦٠ ~	١٢٣٠ ~	٤٧٠ ~	٣٣٠ ~	٢٣٠ ~	١٥٠ ~	٥٠ ~	



شكل (٤)

مقاسات قطع جين ACE بعد قطعها بواسطة إنزيم القصر *Sty I*

(٣) عرض نتائج تحليل جين ACE بواسطة إنزيم *NspI* :



شكل (٥)

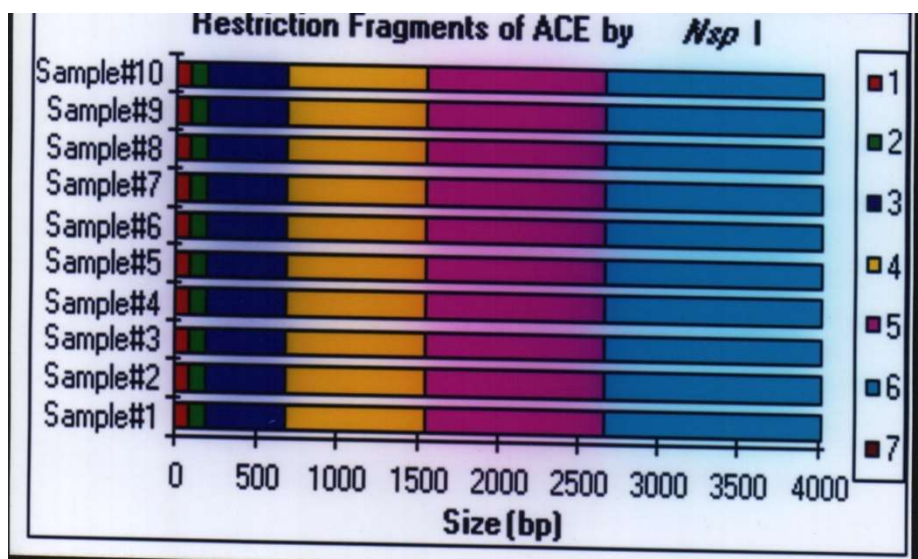
علامات الدنا DNA لأطوال قطع جين ACE باستخدام إنزيم القصر *NspI*



جدول (١١)

يبين أطوال قطع جين ACE التي قطعت بواسطة إنزيم NspI

الغواصين	قطع الدنا	٦	٥	٤	٣	٢	١
المبتدئ الأول	٨٠ ~	١٣٥٠ ~	١١١٠ ~	٨٨٠ ~	٤٩٠ ~	١١٠ ~	٤٩٠ ~
المبتدئ الثاني	٨٠ ~	١٣٥٠ ~	١١١٠ ~	٨٨٠ ~	٤٩٠ ~	١١٠ ~	٤٩٠ ~
المبتدئ الثالث	٨٠ ~	١٣٥٠ ~	١١١٠ ~	٨٨٠ ~	٤٩٠ ~	١١٠ ~	٤٩٠ ~
المبتدئ الرابع	٨٠ ~	١٣٥٠ ~	١١١٠ ~	٨٨٠ ~	٤٩٠ ~	١١٠ ~	٤٩٠ ~
المبتدئ الخامس	٨٠ ~	١٣٥٠ ~	١١١٠ ~	٨٨٠ ~	٤٩٠ ~	١١٠ ~	٤٩٠ ~
المبتدئ السادس	٨٠ ~	١٣٥٠ ~	١١١٠ ~	٨٨٠ ~	٤٩٠ ~	١١٠ ~	٤٩٠ ~
المبتدئ السابع	٨٠ ~	١٣٥٠ ~	١١١٠ ~	٨٨٠ ~	٤٩٠ ~	١١٠ ~	٤٩٠ ~
المبتدئ الثامن	٨٠ ~	١٣٥٠ ~	١١١٠ ~	٨٨٠ ~	٤٩٠ ~	١١٠ ~	٤٩٠ ~
المبتدئ التاسع	٨٠ ~	١٣٥٠ ~	١١١٠ ~	٨٨٠ ~	٤٩٠ ~	١١٠ ~	٤٩٠ ~
المبتدئ العاشر	٨٠ ~	١٣٥٠ ~	١١١٠ ~	٨٨٠ ~	٤٩٠ ~	١١٠ ~	٤٩٠ ~

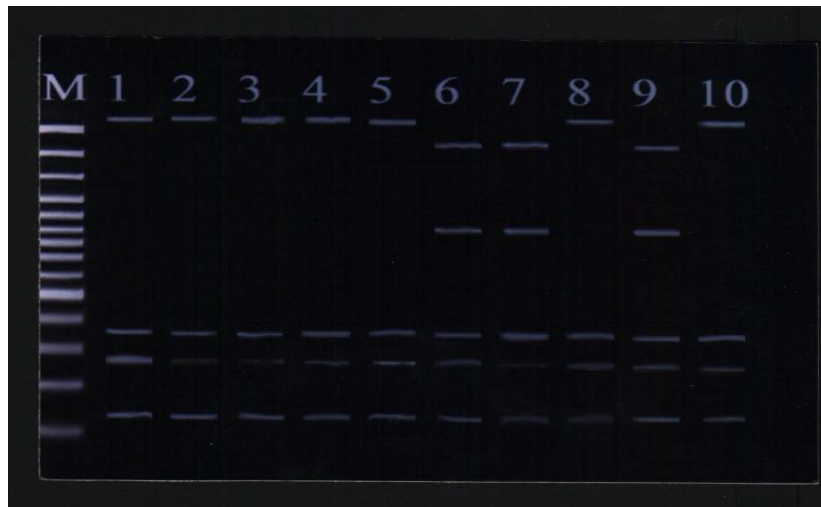


شكل (٦)

مقاسات قطع جين ACE بعد قطعها بواسطة إنزيم القصر NspI



(٤) عرض نتائج تحليل جين ACE بواسطة إنزيم BSal



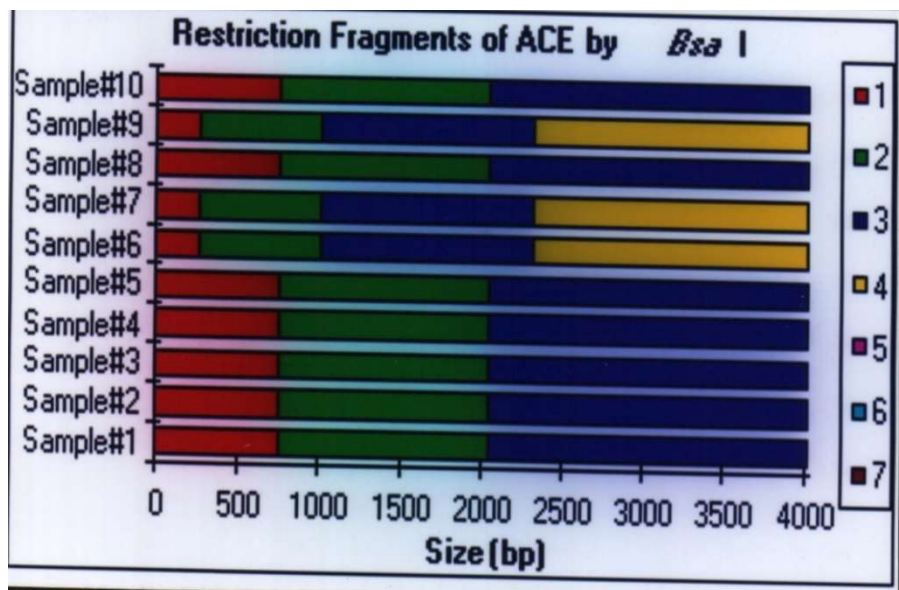
شكل (٧)

يوضح علامات الدنا DNA لأطوال قطع جين ACE باستخدام إنزيم BsaI

جدول (١٢)

يبين أطوال قطع جين ACE التي قطعت بواسطة إنزيم BsaI

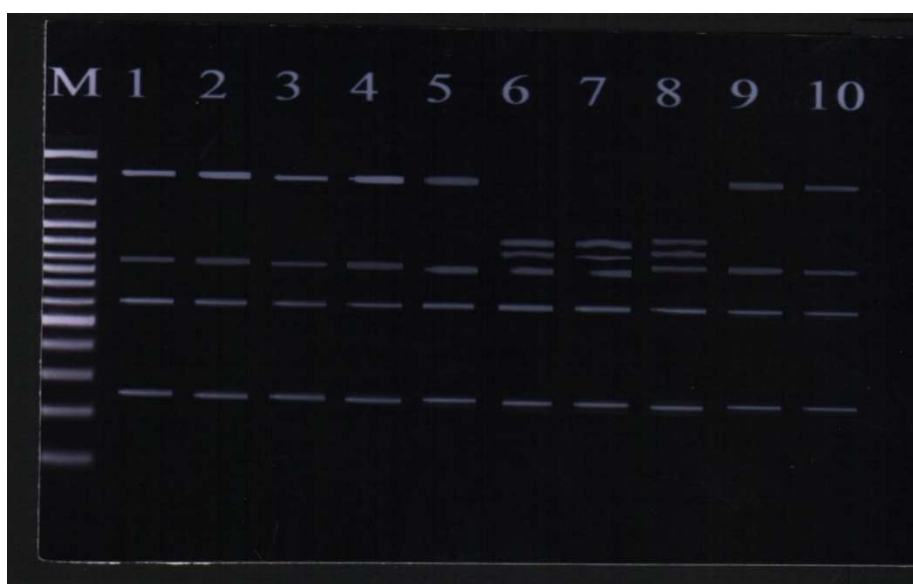
الغواصين	قطع الدنا	١	٢	٣	٤	٥	٦	٧
المبتدئ الأول	٧٦٠ ~	١٣٠٠ ~	١٩٦٠ ~	-	-	-	-	-
المبتدئ الثاني	٧٦٠ ~	١٣٠٠ ~	١٩٦٠ ~	-	-	-	-	-
المبتدئ الثالث	٧٦٠ ~	١٣٠٠ ~	١٩٦٠ ~	-	-	-	-	-
المبتدئ الرابع	٧٦٠ ~	١٣٠٠ ~	١٩٦٠ ~	-	-	-	-	-
المبتدئ الخامس	٧٦٠ ~	١٣٠٠ ~	١٩٦٠ ~	-	-	-	-	-
المبتدئ السادس	٢٦٠ ~	٧٦٠ ~	١٣٠٠ ~	١٧٠٠ ~	-	-	-	-
المبتدئ السابع	٢٦٠ ~	٧٦٠ ~	١٣٠٠ ~	١٧٠٠ ~	-	-	-	-
المبتدئ الثامن	٢٦٠ ~	٧٦٠ ~	١٣٠٠ ~	١٩٦٠ ~	-	-	-	-
المبتدئ التاسع	٧٦٠ ~	٧٦٠ ~	٧٦٠ ~	١٧٠٠ ~	-	-	-	-
المبتدئ العاشر	٧٦٠ ~	٧٦٠ ~	٧٦٠ ~	١٩٦٠ ~	-	-	-	-



شكل (٨)

مقاسات قطع جين ACE بعد قطعها بواسطة إنزيم BsaI

(٥) عرض نتائج تحليل جين ACE بواسطة إنزيم DraIII :



شكل (٩)

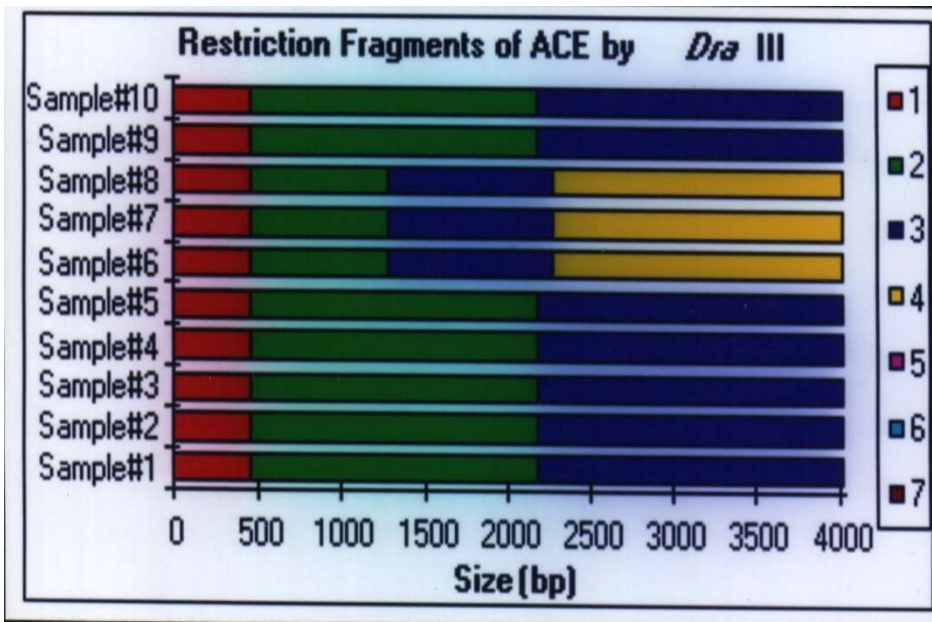
علامات الدنا لأطوال قطع جين ACE باستخدام إنزيم DraIII



جدول (١٣)

يبين أطوال قطع جين ACE التي قطعت بواسطة إنزيم DraIII

الغواصين	قطع الدنا	٧	٦	٥	٤	٣	٢	١
المبتدئ الأول	٤٥٠ ~	-	-	-	-	١٨٤٠ ~	١٧٣٠ ~	
المبتدئ الثاني	٤٥٠ ~	-	-	-	-	١٨٤٠ ~	١٧٣٠ ~	
المبتدئ الثالث	٤٥٠ ~	-	-	-	-	١٨٤٠ ~	١٧٣٠ ~	
المبتدئ الرابع	٤٥٠ ~	-	-	-	-	١٨٤٠ ~	١٧٣٠ ~	
المبتدئ الخامس	٤٥٠ ~	-	-	-	-	١٨٤٠ ~	١٧٣٠ ~	
المبتدئ السادس	٤٥٠ ~	-	-	-	-	١٧٣٠ ~	١٠٠ ~	٨٤٠ ~
المبتدئ السابع	٤٥٠ ~	-	-	-	-	١٧٣٠ ~	١٠٠ ~	٨٤٠ ~
المبتدئ الثامن	٤٥٠ ~	-	-	-	-	١٧٣٠ ~	١٠٠ ~	٨٤٠ ~
المبتدئ التاسع	٤٥٠ ~	-	-	-	-	١٨٤٠ ~	١٧٣٠ ~	
المبتدئ العاشر	٤٥٠ ~	-	-	-	-	١٨٤٠ ~	١٧٣٠ ~	

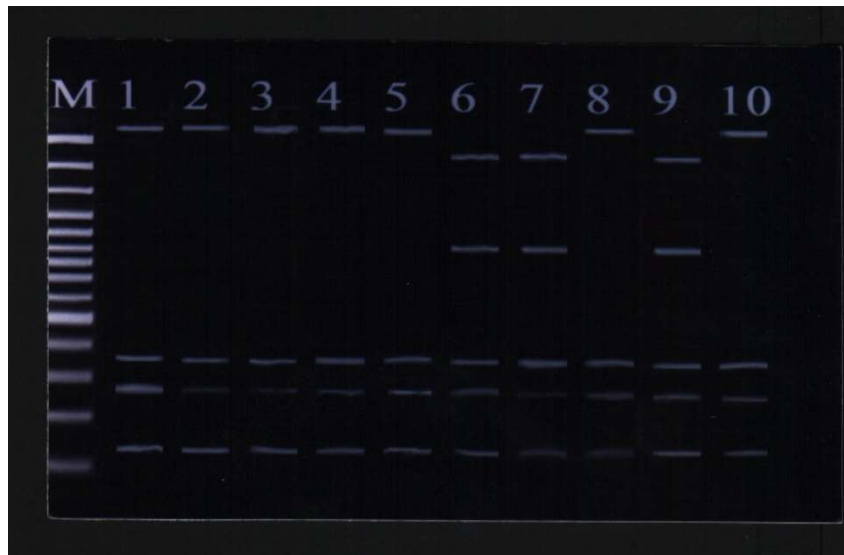


شكل (١٠)

مقاسات قطع جين ACE بعد قطعها بواسطة إنزيم Dra III



(٦) عرض نتائج تحليل جين ACE بواسطة إنزيم Dsal



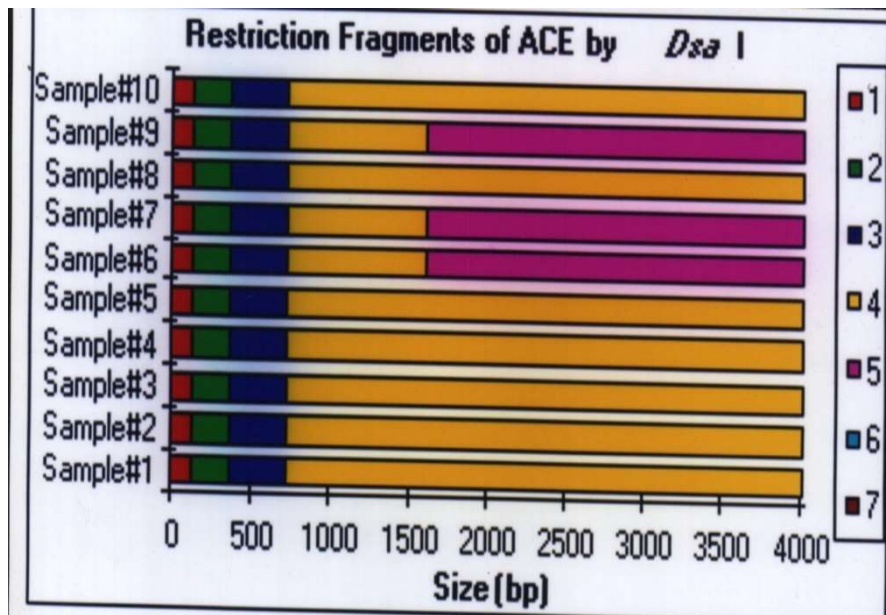
شكل (١١)

علامات الدنا لأطوال قطع جين ACE باستخدام إنزيم Dsa I

جدول (١٤)

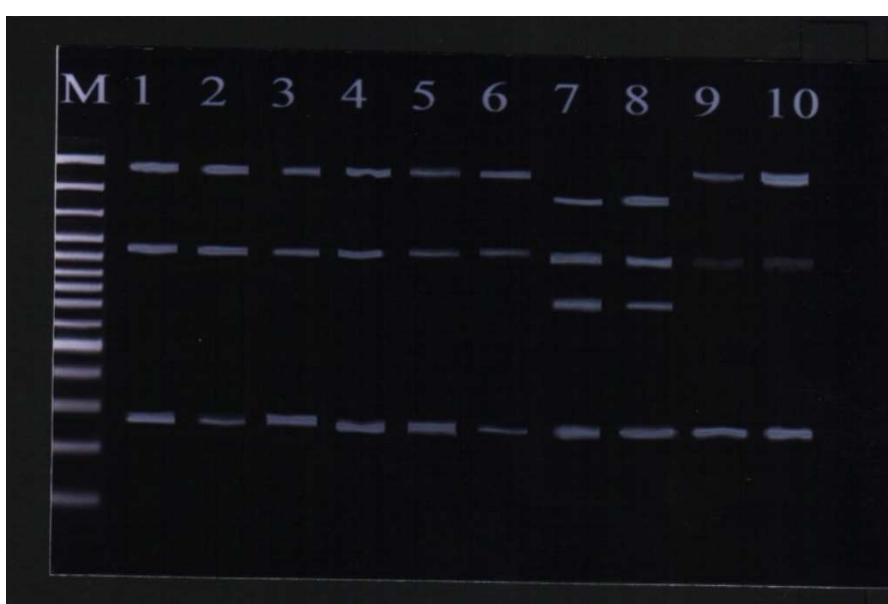
يبين أطوال قطع جين ACE التي قطعت بواسطة إنزيم Dsal

العواصين	قطع الدنا	٧	٦	٥	٤	٣	٢	١
المبتدئ الأول	-	-	-	٣٣٠٠ ~	٣٥٠ ~	٢٥٠ ~	١٢٠ ~	
المبتدئ الثاني	-	-	-	٣٣٠٠ ~	٣٥٠ ~	٢٥٠ ~	١٢٠ ~	
المبتدئ الثالث	-	-	-	٣٣٠٠ ~	٣٥٠ ~	٢٥٠ ~	١٢٠ ~	
المبتدئ الرابع	-	-	-	٣٣٠٠ ~	٣٥٠ ~	٢٥٠ ~	١٢٠ ~	
المبتدئ الخامس	-	-	-	٣٣٠٠ ~	٣٥٠ ~	٢٥٠ ~	١٢٠ ~	
المبتدئ السادس	-	-	٢٤٠٠ ~	٩٠٠ ~	٣٥٠ ~	٢٥٠ ~	١٢٠ ~	
المبتدئ السابع	-	-	٢٤٠٠ ~	٩٠٠ ~	٣٥٠ ~	٢٥٠ ~	١٢٠ ~	
المبتدئ الثامن	-	-	-	٣٣٠٠ ~	٣٥٠ ~	٢٥٠ ~	١٢٠ ~	
المبتدئ التاسع	-	-	٢٤٠٠ ~	٩٠٠ ~	٣٥٠ ~	٢٥٠ ~	١٢٠ ~	
المبتدئ العاشر	-	-	-	٣٣٠٠ ~	٣٥٠ ~	٢٥٠ ~	١٢٠ ~	



شكل (١٢)  
مقاسات قطع جين ACE بعد قطعها بإنزيم Dsa I

(٧) عرض نتائج تحليل جين ACE بواسطة إنزيم I : Eag



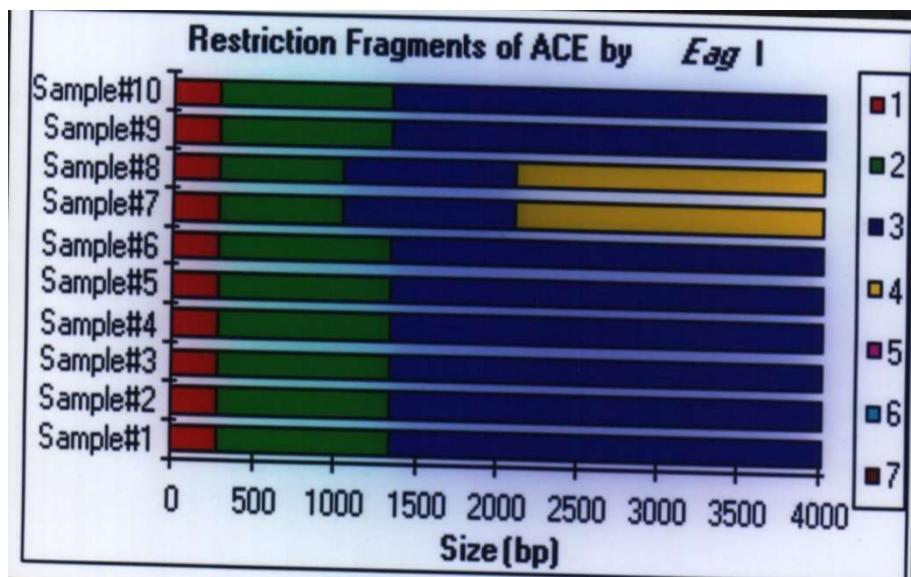
شكل (١٣)  
علامات الدنا لأطوال قطع جين ACE باستخدام إنزيم Eag I



جدول (١٥)

يبين أطوال قطع جين ACE التي قطعت بواسطة إنزيم Eagl

الغواصين	قطع الدنا	٧	٦	٥	٤	٣	٢	١
المبتدئ الأول	٢٨٠ ~	-	-	-	-	٢٦٧٠ ~	١٠٧٠ ~	١٠٧٠ ~
المبتدئ الثاني	٢٨٠ ~	-	-	-	-	٢٦٧٠ ~	١٠٧٠ ~	١٠٧٠ ~
المبتدئ الثالث	٢٨٠ ~	-	-	-	-	٢٦٧٠ ~	١٠٧٠ ~	١٠٧٠ ~
المبتدئ الرابع	٢٨٠ ~	-	-	-	-	٢٦٧٠ ~	١٠٧٠ ~	١٠٧٠ ~
المبتدئ الخامس	٢٨٠ ~	-	-	-	-	٢٦٧٠ ~	١٠٧٠ ~	١٠٧٠ ~
المبتدئ السادس	٢٨٠ ~	-	-	-	-	٢٦٧٠ ~	١٠٧٠ ~	١٠٧٠ ~
المبتدئ السابع	٢٨٠ ~	-	-	-	١٩٠٠ ~	١٠٧٠ ~	٧٧٠ ~	٧٧٠ ~
المبتدئ الثامن	٢٨٠ ~	-	-	-	١٩٠٠ ~	١٠٧٠ ~	٧٧٠ ~	٧٧٠ ~
المبتدئ التاسع	٢٨٠ ~	-	-	-	-	٢٦٧٠ ~	١٠٧٠ ~	١٠٧٠ ~
المبتدئ العاشر	٢٨٠ ~	-	-	-	-	٢٦٧٠ ~	١٠٧٠ ~	١٠٧٠ ~



شكل (١٤)

مقاسات قطع جين ACE بعد قطعها بواسطة إنزيم I



(٨) عرض نتائج تحليل جين ACE بواسطة إنزيم I Ear



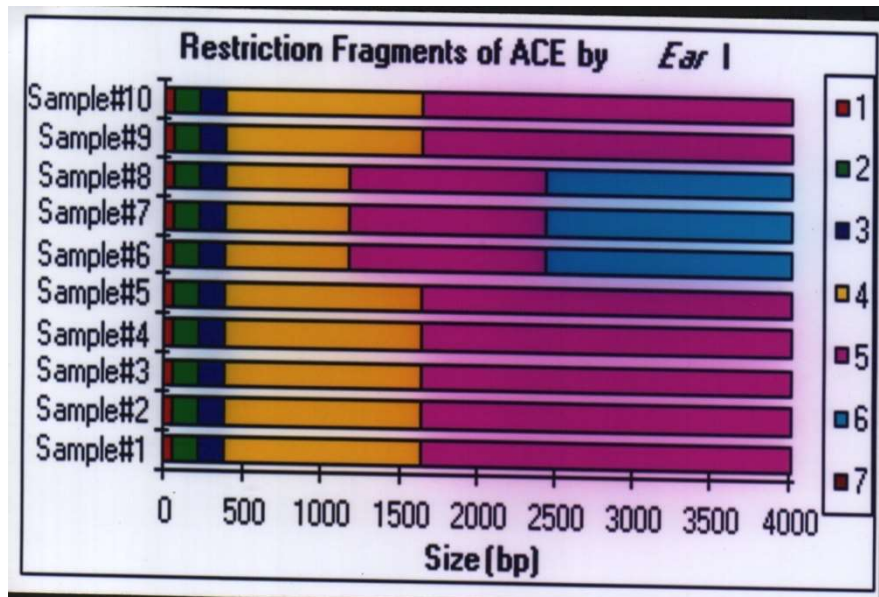
شكل (١٥)

علامات الدنا لأطوال قطع جين ACE باستخدام إنزيم I Ear

جدول (١٦)

يبين أطوال قطع جين ACE التي قطعت بواسطة إنزيم Earl

قطع الدنا الغواصين	١	٢	٣	٤	٥	٦	٧
المبتدئ الأول	٦٠ ~	١٥٠ ~	١٧٠ ~	١٢٦٠ ~	٢٣٨٠ ~	-	-
المبتدئ الثاني	٦٠ ~	١٥٠ ~	١٧٠ ~	١٢٦٠ ~	٢٣٨٠ ~	-	-
المبتدئ الثالث	٦٠ ~	١٥٠ ~	١٧٠ ~	١٢٦٠ ~	٢٣٨٠ ~	-	-
المبتدئ الرابع	٦٠ ~	١٥٠ ~	١٧٠ ~	١٢٦٠ ~	٢٣٨٠ ~	-	-
المبتدئ الخامس	٦٠ ~	١٥٠ ~	١٧٠ ~	١٢٦٠ ~	٢٣٨٠ ~	-	-
المبتدئ السادس	٦٠ ~	١٥٠ ~	١٧٠ ~	٨٠٠ ~	١٢٦٠ ~	١٥٨٠ ~	-
المبتدئ السابع	٦٠ ~	١٥٠ ~	١٧٠ ~	٨٠٠ ~	١٢٦٠ ~	١٥٨٠ ~	-
المبتدئ الثامن	٦٠ ~	١٥٠ ~	١٧٠ ~	٨٠٠ ~	١٢٦٠ ~	١٥٨٠ ~	-
المبتدئ التاسع	٦٠ ~	١٥٠ ~	١٧٠ ~	١٢٦٠ ~	٢٣٨٠ ~	-	-
المبتدئ العاشر	٦٠ ~	١٥٠ ~	١٧٠ ~	١٢٦٠ ~	٢٣٨٠ ~	-	-



شكل (١٦)

مقاسات قطع جين ACE بعد قطعها بواسطه إنزيم Ear I

(٩) عرض نتائج تحليل جين ACE بواسطه إنزيم I : Mae



شكل (١٧)

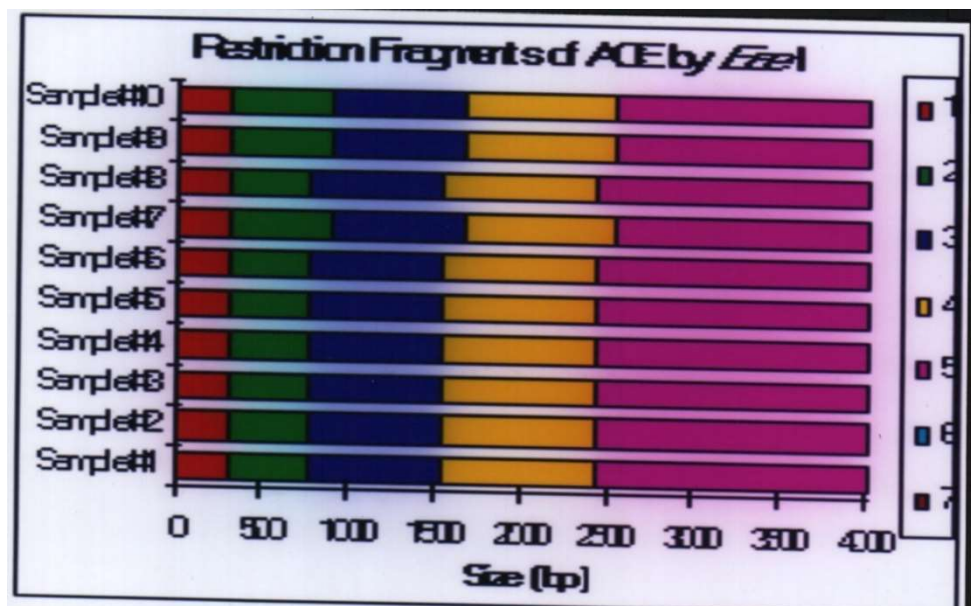
علامات الدنا DNA لأطوال قطع جين ACE باستخدام إنزيم Mae I



جدول (١٧)

يبين أطوال قطع جين ACE التي قطعت بواسطة إنزيم Mael

الغواصين	قطع الدنا	١	٢	٣	٤	٥	٦	٧
المبتدئ الأول	٣٠٠ ~	٤٨٠ ~	٧٦٠ ~	٨٩٠ ~	١٥٩٠ ~	-	-	-
المبتدئ الثاني	٣٠٠ ~	٤٨٠ ~	٧٦٠ ~	٨٩٠ ~	١٥٩٠ ~	-	-	-
المبتدئ الثالث	٣٠٠ ~	٤٨٠ ~	٧٦٠ ~	٨٩٠ ~	١٥٩٠ ~	-	-	-
المبتدئ الرابع	٣٠٠ ~	٤٨٠ ~	٧٦٠ ~	٨٩٠ ~	١٥٩٠ ~	-	-	-
المبتدئ الخامس	٣٠٠ ~	٤٨٠ ~	٧٦٠ ~	٨٩٠ ~	١٥٩٠ ~	-	-	-
المبتدئ السادس	٣٠٠ ~	٤٨٠ ~	٧٦٠ ~	٨٩٠ ~	١٥٩٠ ~	-	-	-
المبتدئ السابع	٣٠٠ ~	٤٨٠ ~	٧٦٠ ~	٨٩٠ ~	١٤٧٠ ~	-	-	-
المبتدئ الثامن	٣٠٠ ~	٤٨٠ ~	٧٦٠ ~	٨٩٠ ~	١٥٩٠ ~	-	-	-
المبتدئ التاسع	٣٠٠ ~	٦٠٠ ~	٧٦٠ ~	٨٩٠ ~	١٤٧٠ ~	-	-	-
المبتدئ العاشر	٣٠٠ ~	٦٠٠ ~	٧٦٠ ~	٨٩٠ ~	١٤٧٠ ~	-	-	-



شكل (١٨)

مقاسات قطع جين ACE بعد قطعها بواسطة إنزيم I Mae



(١٠) عرض نتائج تحليل جين ACE بواسطة إنزيم I : Sca I



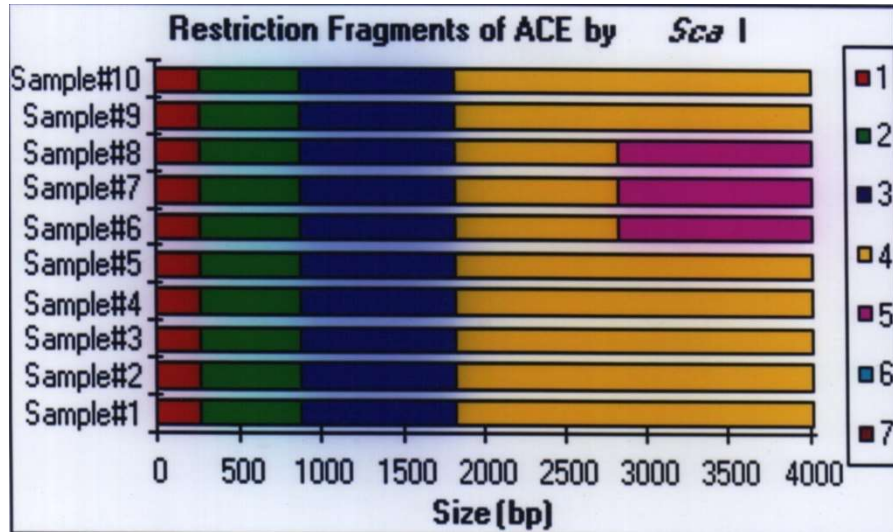
شكل (١٩)

علامات الدنا لأطوال قطع جين ACE باستخدام إنزيم I Sca I

جدول (١٨)

يبين أطوال قطع جين ACE التي قطعت بواسطة إنزيم Scal I

الغواصين	قطع الدنا	١	٢	٣	٤	٥	٦	٧
المبتدئ الأول	٢٦٠ ~	٦٢٠ ~	٩٥٠ ~	٢١٩٠ ~	-	-	-	-
المبتدئ الثاني	٢٦٠ ~	٦٢٠ ~	٩٥٠ ~	٢١٩٠ ~	-	-	-	-
المبتدئ الثالث	٢٦٠ ~	٦٢٠ ~	٩٥٠ ~	٢١٩٠ ~	-	-	-	-
المبتدئ الرابع	٢٦٠ ~	٦٢٠ ~	٩٥٠ ~	٢١٩٠ ~	-	-	-	-
المبتدئ الخامس	٢٦٠ ~	٦٢٠ ~	٩٥٠ ~	٢١٩٠ ~	-	-	-	-
المبتدئ السادس	٢٦٠ ~	٦٢٠ ~	٩٥٠ ~	١٠٠٠ ~	١١٩٠ ~	-	-	-
المبتدئ السابع	٢٦٠ ~	٦٢٠ ~	٩٥٠ ~	١٠٠٠ ~	١١٩٠ ~	-	-	-
المبتدئ الثامن	٢٦٠ ~	٦٢٠ ~	٩٥٠ ~	١٠٠٠ ~	١١٩٠ ~	-	-	-
المبتدئ التاسع	٢٦٠ ~	٦٢٠ ~	٩٥٠ ~	٢١٩٠ ~	-	-	-	-
المبتدئ العاشر	٢٦٠ ~	٦٢٠ ~	٩٥٠ ~	٢١٩٠ ~	-	-	-	-



شكل (٢٠)

## مقاسات قطع جين ACE بعد قطعها بواسطة إنزيم I

توضح الجداول من (٩-٢٠) والأشكال من (١ - ٢٠) نتائج تحليل جين إنزيم الأنجيوتنسين المحوّل (ACE gene) باستخدام ١٠ (عشرة) إنزيمات قصر (قطع) مختلفة لأفراد عينة البحث حيث يستخدم كل إنزيم على حدة لأفراد العينة، حيث تم ترتيب الغواصين من (١-١٠) وكان المبتدئ الأول " هو أفضل المبتدئين في مستوى الأداء .

وتم أخذ أحسن الغواصين زمناً (أقلهم) في سباحة ١٠٠ م حرّة كمعيار يقاس عليه باقي الأنماط الجينية لمعرفة ما إذا كانت هناك فروق في أطوال قطع جين إنزيم الأنجيوتنسين المحوّل في المبتدئين العشرة أم لا ومدى ارتباط هذه الفروق إن وجدت بمستوى الأداء للمبتدئين وكثلة (جم) البطن الأيسر (Lvm).

عدم وجود فروق بين أطوال قطع جين ACE للمبتدئين العشرة عينة البحث لكل من إنزيمات القصر الآتية:

- إنزيم القصر (Ava I) تبيّن عدم وجود فروق في أطوال النيوكليوتيدات لقطع جين ACE لأي من المبتدئين العشرة حيث كانت الأطوال (٥٠ـ ، ٧٠ـ ، ٤٢٠ـ ، ٨٥٠ـ ، ٩٢٠ـ ، ١٧١٠ـ ) .

- إنزيم القصر (Sty I) تبيّن عدم وجود فروق في أطوال النيوكليوتيدات لقطع جين ACE لأي من المبتدئين العشرة حيث كانت الأطوال (٥٠ـ ، ١٥٠ـ ، ٢٣٠ـ ، ٣٣٠ـ ، ٤٧٠ـ ، ١٢٣٠ـ ، ١٥٦٠ـ ) .



— إنزيم القصر (I Nsp) تبين عدم وجود فروق في أطوال النيوكليوتيدات لقطع جين ACE لأي من المبتدئين العشرة حيث كانت الأطوال (~ ٨٠، ~ ١١٠، ~ ٤٩٠، ~ ٨٨٠، ~ ١١١، ~ ١٣٥).

بينما وجدت فروق في أطوال قطع جين ACE بين المبتدئين العشرة عينة البحث في سبعة (٧) إنزيمات قطع من العشرة المستخدمة حيث كانت كالتالي:

— إنزيم القصر (Bsa I) تبين وجود فروق في أطوال النيوكليوتيدات لقطع جين ACE لكل من المبتدئ (السادس، السابع، التاسع) مقارنة بباقي الغواصين حيث كانت الأطوال (~ ٢٦٠، ~ ٧٦٠، ~ ١٣٠٠، ~ ١٧٠٠).

— إنزيم القصر (Dra III) تبين وجود فروق في أطوال النيوكليوتيدات لقطع جين ACE لكل من المبتدئ (السادس، السابع، والثامن) مقارنة بباقي المبتدئين عينة البحث حيث كانت الأطوال (~ ٨٤٠، ~ ١٠٠٠، ~ ١٠٣٠، ~ ١٧٣٠).

— إنزيم القصر (Dsa I) تبين وجود فروق في أطوال النيوكليوتيدات لقطع جين ACE لكل من المبتدئ (السادس ، السابع و التاسع ) مقارنة بباقي المبتدئين عينة البحث حيث كانت الأطوال (~ ٢٥٠، ~ ٣٥٠، ~ ٩٠٠، ~ ٢٤٠٠).

— إنزيم القصر (Eag I) تبين وجود فروق في أطوال النيوكليوتيدات لقطع جين ACE لكل من المبتدئ (السابع و الثامن ) مقارنة بباقي المبتدئين عينة البحث حيث كانت الأطوال (~ ٧٧٠، ~ ١٠٧٠، ~ ١٩٠٠).

— إنزيم القصر (Ear I) تبين وجود فروق في أطوال النيوكليوتيدات لقطع جين ACE لكل من المبتدئ (السادس ، السابع و الثامن ) مقارنة بباقي المبتدئين عينة البحث حيث كانت الأطوال (~ ٨٠٠، ~ ١٢٦٠، ~ ١٥٨٠).

— إنزيم القصر (Mae I) تبين وجود فروق في أطوال النيوكليوتيدات لقطع جين ACE لكل من المبتدئ (السابع ، التاسع ، والعشر ) مقارنة بباقي المبتدئين عينة البحث حيث كانت الأطوال (~ ٦٠٠، ~ ٧٦٠، ~ ٨٩٠، ~ ١٤٧٠).

— إنزيم القصر (Sca I) تبين وجود فروق في أطوال النيوكليوتيدات لقطع جين ACE لكل من المبتدئ (السادس ، السابع و الثامن ) مقارنة بباقي المبتدئين عينة البحث حيث كانت الأطوال (~ ١٠٠٠، ~ ١١٩٠).



## مناقشة النتائج:

## ١- مناقشة نتائج معاملات الارتباط بين متغيرات وظائف القلب والبطين الأيسر ومستوى الأداء للغواصين:

أظهرت النتائج وجود علاقة دالة إحصائياً بين متغيرات القلب قيد الدراسة ومستوى الأداء للمبتدئين عينة البحث منها (٣) معامل ارتباط دال عند مستوى ٠٠٠٥ ، (١٧) معامل ارتباط دال عند مستوى ٠٠٠١ ، وكانت أهم العلاقات الدالة على النحو التالي :

- حجم الضربة (SV) والقطر الانبساطي للبطين الأيسر (EDD) حيث بلغ معامل الارتباط بينهما (٠.٩٨٩) وهو ارتباط طردي قوي دال عند مستوى ٠٠٠١ وهو من أعلى القيم لمعاملات الارتباط الموجبة بين المتغيرات قيد الدراسة ، حيث أنه كلما زاد القطر الانبساطي للبطين الأيسر زادت بالتبعية حجم الضربة وهي علاقة منطقية ، وتعزيز الدراسة هذا إلى أنه كلما اتسع قطر تجويف البطين الأيسر خلال عملية انبساط عضلة القلب زادت فرصه دخول كمية أكبر من الدم إليه وبالتالي تزداد حجم الضربة أثناء عملية الانقباض ، وكذلك للعلاقة الوطيدة بين حجم الضربة والقطر الانبساطي للبطين الأيسر حيث أنه لحساب حجم الضربة تستخدم المعادلة الآتية : حجم الضربة = ( القطر الانبساطي للبطين الأيسر )<sup>٣</sup> — ( القطر الانقباضي للبطين الأيسر )<sup>٣</sup>

$$SV = EDD^3 - ESD^3$$

وهذا يتفق مع ما أشار إليه كل من بهاء سلامة (٢٠٠٠ م) (١)، محمد علي القط (٢٠٠٦ م) (٩) إلى أن تدريب التحمل يؤدي إلى زيادة حجم الضربة وأن حجم الضربة هو الفرق بين كمية الدم التي خرجت وكمية الدم المتبقية في البطين.

القطر الانبساطي للبطين الأيسر (EDD) ، والقطر الانقباضي له (ESD) ، حيث بلغ معامل الارتباط بينهما (٠.٩٣٥) وهو ارتباط طردي دال عند مستوى ٠٠٠١ ، حيث أنه كلما زاد القطر الانبساطي للبطين الأيسر زاد القطر الانقباضي له ، وتعزيز الدراسة هذا إلى أنه عند التدريب تزداد حجم البلازما في الدم مما يعني أن هناك دماً أكثر يدخل البطين الأيسر أثناء عملية الانبساط مما يزيد قطر الانبساط للبطين الأيسر ويتسع تجويفه ، وتبعاً لقانون ستارلنجر "Starling's law" ، فعندما يزداد محتوى البطين تطول ألياف عضلة القلب وينتج عن ذلك زيادة كبيرة في شدة انقباضها ، وهذا يتفق مع ما أشار إليه علي جلال (٤ م) (٥) أنه كلما زاد الحمل على عضلات القلب زادت قوة انقباضها .



من خلال عرض بيانات الجدول يتضح وجود علاقات ارتباطية طردية دالة عند مستوى .٠٠٥ ، بين كتلة (جم) البطين الأيسر ( $Lvm$ ) ، وكل من القطر الانبساطي للبطين الأيسر ( $EDD$ ) ، حجم الضربة ( $SV$ ) ، القطر الانقباضي للبطين الأيسر ( $ESD$ ) ، سمك الجدار الداخلي للبطين الأيسر ( $SWT$ ) ، وسمك الجدار الخارجي له ( $PWT$ ) حيث بلغت معاملات الارتباط بينهم (.٠٩٠ ، .٠٩٢٩ ، .٠٩٧٣ ، .٠٨٩١ ، .٠٧٦٠ ) على التوالي ، حيث أن الزيادة في حجم البطين الأيسر تتوقف على الزيادة في هذه المتغيرات الخمسة حيث أنها تعمل كشبكة واحدة ، وتعزيز الدراسة هذا إلى العلاقة المشتركة التي تربط حجم البطين الأيسر بهذه المتغيرات ، فإنه لحساب حجم البطين الأيسر فإنه يلزم معرفة قيم هذه المتغيرات من خلال المعادلة :

$$Lvm = 0.80 \left[ 1.04 (SWT + EDD + PWT)^3 - (EDD)^3 \right] + 0.6$$

والتي يتضح من خلالها الترابط الوثيق بين هذه المتغيرات بعضها وبعض.

وهذا يتفق مع ما أشارت إليه دراسة جوزيف نادو وآخرون Joseph H. Nadeau et al (٢٠٠٣م) ، كما أن البطين الأيسر يكون هو الأقوى بالنسبة لغرف القلب الأربعه أثناء الانقباض وهذه القوة الكبيرة للبطين الأيسر ترجع إلى الحجم الكبير لجداره العضلي مقارنة بباقي حرات القلب الأخرى ، كما أنه يحدث له التغير الأكبر أثناء التدريب نظراً لأنقباضه مع الزيادة في حجم الدم ، وكذلك في ضغط الدم ، وكل ذلك يعتبر حملاً كبيراً على القلب وللتغلب على هذا الحمل فإن عضلة القلب تعوض ذلك عن طريق زيادة الحجم ( سواء بزيادة سمك الجدران أو زيادة السعة ذاتها ) ، وبذلك يستطيع الاستمرار في الانقباض بكفاءة ، وتبعاً لقانون ستارلنج تكون النتيجة لهذا التمدد هو انقباض أفضل وأكثر قوة ، وزيادة الانقباض ترتبط مع زيادة التمدد الناتج مع الانبساط الأفضل للقلب المدرب ، وهذا بدوره يؤدي إلى زيادة حجم الضربة ، وهذا يتفق مع ما أشار إليه كل من بهاء سلامة (٢٠٠٠م) (١) ، علي جلال (٢٠٠٤م) (٥) ، ومارجريتا تومافوري Margareetta Tummavuori (٢٠٠٤م) (٦) .

من خلال عرض بيانات الجدول يتضح وجود علاقات ارتباطية عكسية دالة إحصائياً عند مستوى .٠٠١ ، بين مستوى الأداء ، وكل من القطر الانقباضي للبطين الأيسر ( $ESD$ ) ، سمك الجدار الداخلي للبطين الأيسر ( $SWT$ ) ، كتلة البطين الأيسر ( $Lvm$ ) ، القطر الانبساطي للبطين الأيسر ( $EDD$ ) ، وحجم الضربة ( $SV$ ) ، حيث بلغت معاملات الارتباط بينهم (- .٠٩٢٤ ، -.٠٨٨٩ ، -.٠٨٧٢ ، -.٠٨٥١ ، -.٠٧٩٩ ، -.٠٧٩٩ ) على التوالي ، وتفسر الدراسة



وجود هذه العلاقة الارتباطية بين المستوى الرقمي لسباحة ١٠٠ م حرة وهذه المتغيرات الخمسة بأنها علاقة منطقية ، حيث أن الإشارة (السالبة) تعني العلاقة العكسية .

وهذا يحقق الفرض والذي ينص على أنه: " يوجد ارتباط بين بعض متغيرات القلب ووظائف البطين الأيسر والإنحدار في رياضة الغوص ."

عادة ما تتم دراسة العلاقة ما بين متغيرين أو أكثر على أمل استخدام العلاقة المستنيرة في المساعدة على التقدير أو التوجيه أو التنبؤ بقيم أحد هذه المتغيرات، وتعرف الطرق المصممة لتناول مشكلات التقويم أو التنبؤ "بطرق الانحدار" ، وأن مشكلة التنبؤ الخطي هذه تؤول إلى مشكلة توفيق خط مستقيم لمجموعة من النقاط، وهذه المعادلة للخط المستقيم يمكن كتابتها على الصورة التالية:  $y = a + b x$  .

وبناءً على ذلك فقد أظهرت النتائج أن متغير قطر انقباض البطين الأيسر (ESD) هو أكثر المتغيرات مساهمة في مستوى الأداء حيث بلغت نسبة مساهمته ٨٥.٣٨ % ، وتعزيز الدراسة هذا إلى أن زيادة انقباض البطين الأيسر يؤدي إلى دفع كمية أكبر من الدم إلى جميع أجزاء الجسم ، مما يزيد من فرصة وصول الأكسجين بكمية أكبر إلى العضلات العاملة ، وهذا يؤدي بدوره إلى تحسن مستوى الأداء ، وهذا يتفق مع ما أشارت إليه دراسة مارجريتا تومافوري ٤٢٠٠ م (٢١) من أن رياضات التحمل تكون فيها الزيادة الأكبر لقطر انقباض البطين الأيسر عن الرياضات الأخرى وعلى ذلك تكون معادلة خط الانحدار التنبؤية بمستوى الأداء بمعلومية قطر انقباض البطين الأيسر ESD على النحو التالي  $y = a + b_1 x_1$  ، حيث  $a$  = المقدار الثابت ،  $b$  = معامل الانحدار ،  $x$  = قيمة قياس المؤشر المساهم .

أي أن مستوى الأداء =  $0.000 + (12.056 \times \text{متوسط قيمة قطر انقباض البطين الأيسر (ESD)})$  .

ونفس الدراسة كون متغير سمك الجدار الداخلي للبطين الأيسر (SWT) جاء في المرتبة الثانية من مجموع المتغيرات المساهمة في المستوى الرقمي لسباحة ١٠٠ م حرة ، حيث رفع نسبة المساهمة من ٨٥.٣٨ % إلى ٨٩.٤ % أي ساهم بنسبة ٤٠٢ % إلى أنه نتيجة زيادة الحمل البدني الناتج عن التدريب يزداد ضغط الدم الانقباضي Systolic pressure ، ونتيجة الضغط على جدران غرف القلب يزداد القطر الانبساطي للبطين الأيسر ، فيزداد سمك الجدار الداخلي للبطين الأيسر (SWT) ، وتزداد وبالتالي القدرة على الانقباض بكفاءة أكبر وهذا يسمح بتدفق دم أكبر للعضلات العاملة مما يكون له تأثير على تحسن زمن سباحة ١٠٠ م حرة ، وهذا



يتفق مع ما أشارت إليه دراسة Spirito et al نقلًا عن مارجريتا توما فوري ٢٠٠٤م (٢١) من أن الغوص تعتبر من الرياضات التي يتميز ممارسيها بكبر القطر الانقباضي للبطين الأيسر وسمك جدرانه الخارجي والداخلي ، وعلى ذلك تكون معادلة خط الانحدار التنبؤية هي :  $y = a + b_1 x_1 + b_2 x_2$

وظهور كثرة البطين الأيسر (Lvm) كمساهم ثالث في مستوى الأداء ، حيث رفع نسبة المساهمة من ٨٩.٤ % إلى ٩١.٢١ % أي بنسبة ١.٨١ % ، يعزى الباحث إلى أنه بزيادة القدرة الانبساطية للبطين الأيسر يتسع تجويف البطين وتحدث زيادة في حجمه مما يزيد من حجم الضربة كنتاج لعملية الانقباض القوية مما يسمح للسباح بالاحتفاظ بسرعته نظراً لوفرة إمداد العضلات بالأكسجين اللازم لاستمرار العمل العضلي وهذا يؤدي إلى تحسن زمن سباحة ١٠٠ م حرة ، وهو ما أشارت إليه دراسة Leky et al ١٩٩٤م نقلًا عن مارجريتا تومافوري ٢٠٠٤م (٢١) إلى أن القدرة الانبساطية للبطين الأيسر تكون أكبر في الرياضات التي يكون فيها الجسم متذبذباً الوضع الأفقي مثل الغواصة ، وكذلك تدفق الدم إلى القلب يكون مثالياً ، وكذلك يزداد كل من حجم الضربة (SV) ، والحجم الانبساطي للبطين الأيسر (EDV) ، وعلى ذلك تكون معادلة خط الانحدار التنبؤية هي :  $y = a + b_1 x_1 + \dots + b_3 x_3$

وأخيراً جاء متغير سماكة جدار الخارج للبطين الأيسر (PWT) كمساهم رابع في مستوى الأداء، حيث رفع نسبة المساهمة من ٩١.٢١ % إلى ٩٢.٥٥ % أي بنسبة ١.٣٤ % وهذا ما تعزيه الدراسة إلى الزيادة في كمية الدم التي يستقبلها تجويف البطين الأيسر خلال عملية الانبساط وما يسببه ذلك من ضغط على جدار البطين الأيسر ، وهو ما يقابلها من زيادة في حجم البطين كنوع من أنواع التكيف الفسيولوجي لعضلة القلب يصاحبه زيادة في سماكة جدار الخارج للبطين الأيسر حتى يستطيع الاستمرار في الانقباض بكفاءة ، وهو ما يوفر الاستمرار في وصول الأكسجين للعضلات العاملة عن طريق تدفق الدم ويعطي فرصة أكبر لتبادل الغازات مما يؤخر ظهور التعب ، ويجعل الغواص قادرًا على الاستمرار بكفاءة في السباق ، وهو ما يحسن زمن سباحة ١٠٠ م حرة ، وهذا يتفق مع ما أشار إليه بهاء سلامة ٢٠٠٠م (١) من أن الاختلافات في سماكة العضلة القلبية ترتبط بصورة مباشرة مع الضغط المکاني في جرمان غرف القلب ، وعلى ذلك تكون معادلة خط الانحدار التنبؤية هي:  $y = a + b_1 x_1 + \dots + b_4 x_4$

وهذا يحقق الفرض الذي ينص على أنه تساهم بعض متغيرات القلب ووظائف البطين الأيسر في الإنجاز في رياضة الغوص.



## مناقشة نتائج الفروق في الأنماط الجينية لجين الإنزيم المحول للأنجيوتنسين ACE gene باستخدام إنزيمات القصر المختلفة للغواصين قيد الدراسة:

من خلال عرض نتائج الجداول لبيان الاختلافات بين الغواصين العشرة قيد الدراسة في أطوال قطع الدنا المكونة من مجموعة معينة من النيوكليوتيدات، أظهرت النتائج أن هناك ثلاثة إنزيمات قصر لم تفرق بين الأنماط الجينية للغواصين العشرة وهي (I) Nsp I, Sty I, Ava I، وتعزيز الدراسة هذا إلى عدم قدرة هذه الإنزيمات على التفريق بين الغواصين العشرة ، حيث أن العينات جميعها تمثل وحدة جين واحدة ، وعند حدوث عملية القطع لم يتضح وجود طفرات في هذه العينات (الغواصين العشرة) لجين ACE وبالتالي لم تستطع إنزيمات القصر الثلاثة التمييز بين الغواصين في أطوال قطع الدنا والتي تتكون من مجموعة من النيوكليوتيدات المتتابعة على جزء من شريط الدنا ، وهذا يتفق مع ما أشار إليه محمد عواد ٢٠٠٣ م (١١) .

بينما أظهرت النتائج أيضاً وجود فروق في أطوال قطع الدنا التي يوجد عليها تتبع النيوكليوتيدات لجين الإنزيم المحول للأنجيوتنسين (ACE gene) بواسطة استخدام سبعة (٧) إنزيمات قصر من الإنزيمات المستخدمة قيد الدراسة وهم:

(Ear I,Eag I,Dsa I,Dra III,Bsa I, Scal , Mael) على التوالي، وجاء المبتدئين (السادس ، السابع والثامن) الأكثر تكراراً في الاختلافات عن باقي المبتدئين وإنزيمات القصر السبعة (٧) ، وإن كان للمبتدئ (السابع) هو القاسم المشترك الأكبر حيث وجد في جميع إنزيمات القصر السبعة (٧) ، وبالربط بين هذه النتيجة وكتلة البطن الأيسر للمبتدئ ومستوى الأداء كما يتضح من عرض بيانات جدول (١٢) نجد أن كتلة البطن الأيسر جاءت أقل بكثير مقارنة بالمبتدئ الأول ، حيث بلغ (٤٤.١٠ جرام) مقابل (٤٠.٧ جرام) للمبتدئ الأول أي ما يعادل ضعف حجمه في المبتدئ السابع ، وكذلك بمقارنة مستوى الأداء نجد فرق كبير في الزمن حيث كان دقة وإثنى عشر ثانية (١٢.١) للمبتدئ السابع مقابل تسعة وخمسون ثانية (٥٩.٧) للمبتدئ الأول ، وهو يعتبر فرق كبير جداً في الغواصة بالرغم من انتظام المبتدئين في التدريبات ، وعرضهم لنفس الجرعة التدريبية بجانب تجانسهم في متغيرات الطول والوزن والسن والอายุ التدريبي ، وهو ما تفسره الدراسة إلى أن الاختلاف في النطج الجيني للجين الذي ينظم عمل الإنزيم المحول للأنجيوتنسين (ACE gene) والملقب بجين الأداء بين المبتدئ (السابع والأول) كان لصالح الأخير حيث أن وجود هذا الجين بصورة معينة ساعد على نمو القلب عامه وكتلة البطن الأيسر خاصة المبتدئ (الأول) مقارنة بالمبتدئ (السابع) حيث أن



عمل هذا الجين هو تحويل الأنجيوتنسين (I) الغير نشط إلى أنجيوتنسين (II) النشط والذي يعمل على قبض الأوعية الدموية مما يؤدي إلى رفع ضغط الدم ، بالإضافة أن لهذا الجين ارتباط كبير بعضة القلب حيث أن إنتاجه لكميات كبيرة من الإنزيم (الصورة DD) يزيد من سمك جدار البطين الأيسر ، وإنتجه لكميات قليلة من الإنزيم (الصورة II) يزيد من كمية الدم ، وبالتالي تزداد السعة الداخلية للبطين الأيسر مما يزيد من قوة انقباضه وبالتالي تزداد حم الضربة القلبية ، فيزداد إمداد العضلات بالدم المحمل بالأكسجين اللازم لاستمرار العمل العضلي ، وبالتالي يتحسن مستوى الأداء ، وهو ما يفسر الفارق الكبير في الزمن بين المبتدئ (الأول والسابع) وجاء بعد ذلك المبتدئ (الثامن) ليعد هذا التفسير حيث وجد نمط الجيني مختلفاً عن باقي المبتدئين لأربعة (٤) من إنزيمات القصر السبعة (٧) قيد الدراسة والتي فرقت في الأنماط الجينية للمبتدئين، حيث كان كتلة البطين الأيسر لهذا الغواص (١٤٠.٨١ جرام) ومستوى الأداء وإحدى عشر ثانية (١٠.١١) وهو ما ينطبق عليه التفسير السابق . وهذا يتفق مع دراسة زاو وآخرون Zhao et al (٢٠٠٠م) (٣٠) من أنه يوجد ارتباط وثيق بين نمو القلب والنمط الجيني لجين الإنزيم المحول لأنجيوتنسن ACE بصورةه (D/I).

وهذا يحقق الفرض والذي ينص على أنه يوجد ارتباط بين بعض المحددات الجينية ( النمط الجيني لجين ACE ) وبعض متغيرات القلب ووظائف البطين الأيسر والإجاز في رياضة الغوص .

#### الاستنتاجات والتوصيات:

#### أولاً: الاستنتاجات:

من واقع البيانات والمعلومات التي توصل إليها الباحث وفي ضوء المعالجات الإحصائية لهذه البيانات ، وفي نطاق أهداف وفرضيات هذا البحث توصلت الدراسة للاستنتاجات الآتية :

- ١- يوجد ارتباط بين النمط الجيني لجين المسؤول عن تنظيم عمل الإنزيم المحول لأنجيوتنسن (ACE gene) وبين كتلة البطين الأيسر ناشئي الغوص أفراد عينة البحث.
- ٢- تساهم بعض متغيرات القلب ووظائف البطين الأيسر [ قطر انقباض البطين الأيسر (ESD) ، سمك الجدار الداخلي للبطين الأيسر (SWT) ، كتلة البطين الأيسر (Lvm) ، سمك الجدار الخارجي للبطين الأيسر (PWT) ] في تحسين مبتدئي الغوص أفراد عينة البحث.



٣- توجد علاقة ارتباطية ( عكسية ) ذات دلالة إحصائية بين كتلة البطن الأيسر ومستوى الأداء لمبتدئي الغوص عينة البحث .

٤- توجد علاقات ارتباطية ( طردية - عكسية ) ذات دلالة إحصائية بين قيم متغيرات القلب ووظائف البطن الأيسر قيد الدراسة بعضها ومستوى أداء مبتدئي الغوص عينة البحث .

#### ٦- كفاءة الإنزيمات القسر السبعة الآتية:

(Sca I, Mae I, Ear I, Eag I, Dsa I , Dra III , Bsa I) قيد الدراسة والتي أظهرت الاختلافات في أطوال قطع الدنا DNA لمبتدئي الغوص الناشئين أفراد عينة البحث .

#### ثانياً: التوصيات:

من خلال عرض النتائج ومناقشتها، وفي ضوء الاستنتاجات التي خلصت إليها الدراسة، توصي الدراسة بما يلي :

١- إجراء الاختبارات الخاصة بتحليل الحامض النووي DNA لتحديد النمط الجيني للغواصين واستخدامها في عملية انتقاء الغواصين وعدم إغفال دور الوراثة في اختيار الناشئين لرياضة الغوص.

٢- دراسة أنواع أخرى من الجينات غير جين ACE والتي قد تلعب دوراً هاماً في تحسين الأداء للاعبين بصفة عامة والغواصين بصفة خاصة، كما أنها يمكن أن تفسر الاختلافات الفردية الموجودة بين اللاعبين بصورة أوضح.

٣- استخدام إنزيمات القسر قيد الدراسة التي أظهرت الاختلافات بين الغواصين في الدراسات المطابقة لهذه الدراسة لرياضة بصفة عامة والغوص بصفة خاصة.

٤- ضرورة دعم مثل هذه الدراسات مادياً من الأجهزة المعنية(الجامعات - جهاز الرياضة) وتوفير المعامل الخاصة لذلك إسوة بما هو متبع في الدول المتقدمة ونظراً لفائدة كبيرة التي تعود على الدولة من إجراء مثل هذه الدراسات.



## المراجع

### أولاً: المراجع العربية:

- ١- بهاء الدين إبراهيم سلامة (٢٠٠٠م): فسيولوجيا الرياضة والأداء البدني (لاكتات الدم)، دار الفكر العربي، القاهرة.
- ٢- حسين حشمت (١٩٩٩م): التقنية البيولوجية والبيوكيميائية وتطبيقاتها في المجال الرياضي، دار النشر للجامعات، القاهرة.
- ٣- حسين حشمت ونادر شلبي (٢٠٠٣م): الوراثة في الرياضة، ط ١، مركز الكتاب للنشر، القاهرة.
- ٤- صالح عبد السلام الطرابيلي (٢٠٠٦م): تأثير بعض تمارينات الاسترخاء والتغيير في نسب مكونات الهواء المجدولة على بعض المتغيرات البيوكيميائية والضغط الجزئي للغازات لمدربى الغوص، رسالة دكتوراه، كلية التربية الرياضية ببور سعيد، جامعة قناة السويس.
- ٥- علي محمد جلال الدين (٢٠٠٤م): فسيولوجيا التربية البدنية والأنشطة الرياضية، ط ٢، المركز العربي للنشر، الزقازيق.
- ٦- لؤي محمد العاني، صباح لازم مجید، زيد شهاب العامري (١٩٩٨م): المختار في المصطلحات الوراثية، ط ١، دار الكتاب الوطنية، بنغازي.
- ٧- مجدي رمضان أبو عرام (٢٠٠٧م): تأثير تدريب بعض القدرات الحس-حركية على كفاءة الجهاز العصبي المركزي والمستوى الرقمي للاعبى الغوص، بحث إنتاج علمي.
- ٨- محمد علي أحمد القط (١٩٩٩م): وظائف أعضاء التدريب الرياضي (مدخل تطبيقي)، دار الفكر العربي، القاهرة.
- ٩- محمد علي أحمد القط (٢٠٠٦م): فسيولوجيا الأداء الرياضي في الغوص، ط ١، المركز العربي للنشر، الزقازيق.



ثانياً: المراجع الأجنبية:

- 10- **Andy Miah (2004)** : Genetically modified athletes biomedical ethics, gene doping and sport", Routledge, London, & New york.
- 11- **Awwad Mh (2003)** : Molecular identification of Biomphalaria Alexandrina and Bulinus truncatus using PCR – RFLP of Action gene, J. Egypt. Acad. Soc. Environ. Develop, 3(1).
- 12- **Bouchard, C (1996)** : Genetic determines for exercise, Human kinetic. London.
- 13- **Ericsson, K. Krampe, R and Tesch Rsmr (1993)** : The role of deliberate practice in the acquistin of expert performance, Physiological review.
- 14- **Graf et al (2001)** : Interaction between the cardiac growth factors and angiotensin with gene polymorphisms of the rennin angiotensin system (RAS) in athlete heart, 6<sup>th</sup> annual of the European college of sport science, Germany.
- 15- **Howe MJA, Davidson Jw, Slobooda JA (1998)** : Innate Talents reality or myth, Journal of behaviour and brain science.
- 16- **Hugo ER, Stewart VJ, Gast RJ and Byerst J (1992)** : Purification amoeba mt DNA using the UNSET Procedure. In protocols in protozoology, JJ. Lee & A.T. Soldo, eds Soc. Protozoobg ists, Lawrence, KA.
- 17- **J Payne & H Montogmery (2003)** : The renin–angiotensin system and physical performance, Biochem soc. Trans, Printed in Great Britain.



18- Joseph H. Nadeau, L. Burrage, J. Restivo, Y. Pao, G.

Churchill, & Brian D. Hoit (2003) : Pleiotropy, Homeostasis, and functional Networks Based on Assays of cardiovascular Traits in Genetically Randomized populations, Genome Research.

19- Kessing B et al (1989) : The simple fool's guide to PCR version 1.0. Department of zoology, University of Hawaii, Honolulu HI.

20- MacMahon et al (1986) : The effect of weight on Left ventricular mass, a randomized controlled trial in young over weight hypertension patients, Journal of med. Vol (319).

21- Margareetta Tummavuori (2004): Long –Term effects of physical Training on cardiac function and structure in Adolescent cross-country skiers, University of Jyvaskyla.

22- Will G. Hopkins (2001) : Genes and Training for Athletic performance Sport science 5 (1) sportsci.Org/jur/010/wghgene.htm.

23- Y. Zhao, W. Zhang & L. Ma (2000) : Association of Angiotension –converting enzyme gene I/D polymorphism with athletic performance in elite strength athletes, Sports Research and Education center, Tianjin Institute of Physical Education, Tianjin, PR China.